



L Muller.
CHU Nîmes

Doppler transcrânien en urgence : Technique et intérêt clinique



JE SUIS
CHARLIE



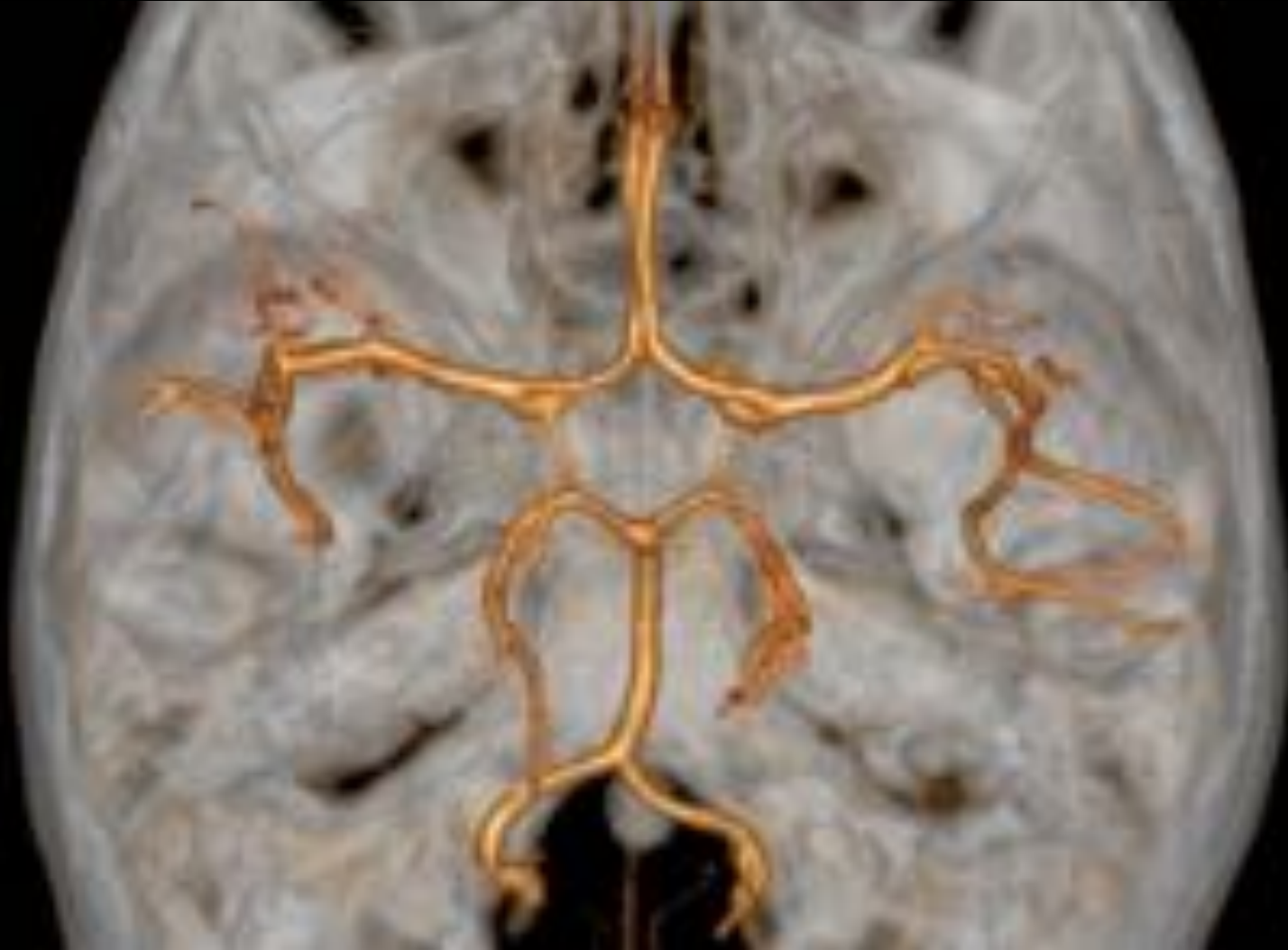
Transcranial color coded duplex sonography (TCCD)

In contrast to "blind" conventional transcranial Doppler sonography (TCD)

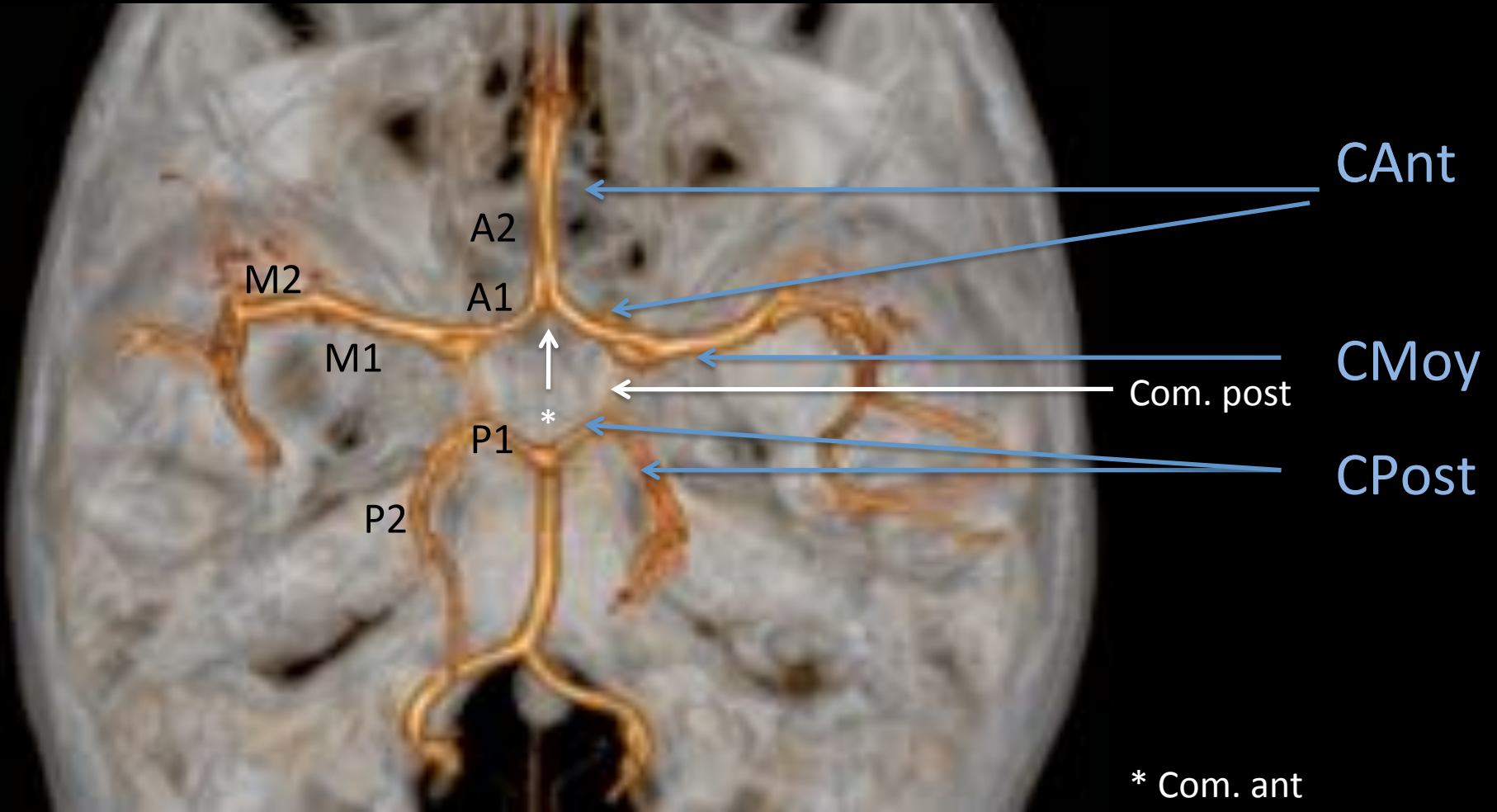
1. TCCD enables a sonographer to outline the intracranial bony and parenchymal structures
2. Visualize the basal cerebral arteries in color
3. Measure angle-corrected blood flow velocities in a specific site of the artery in question.

1. Principes

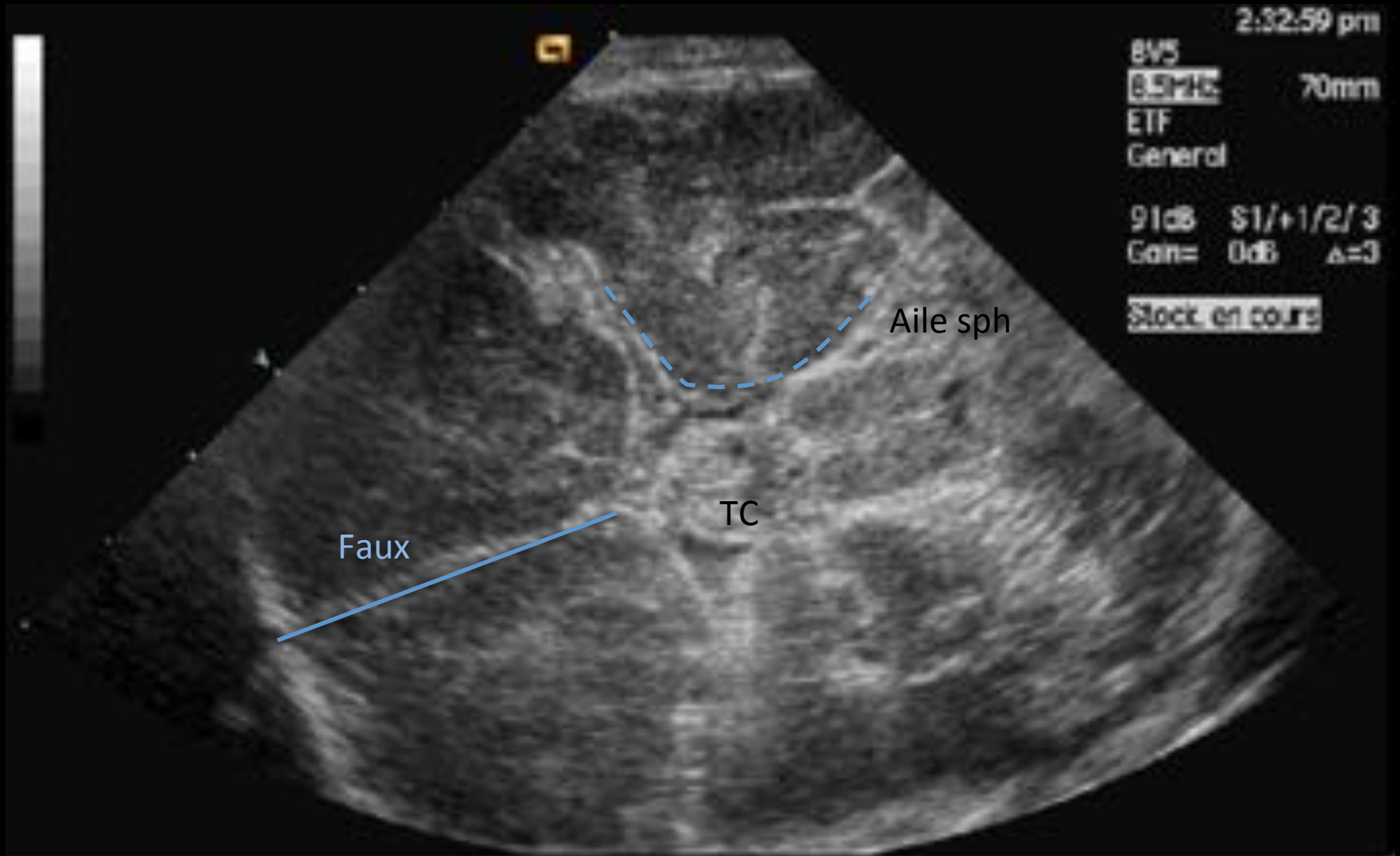
Doppler intra crânien : *anatomie du polygone de Willis*



Doppler intra crânien : anatomie du tronc cérébral



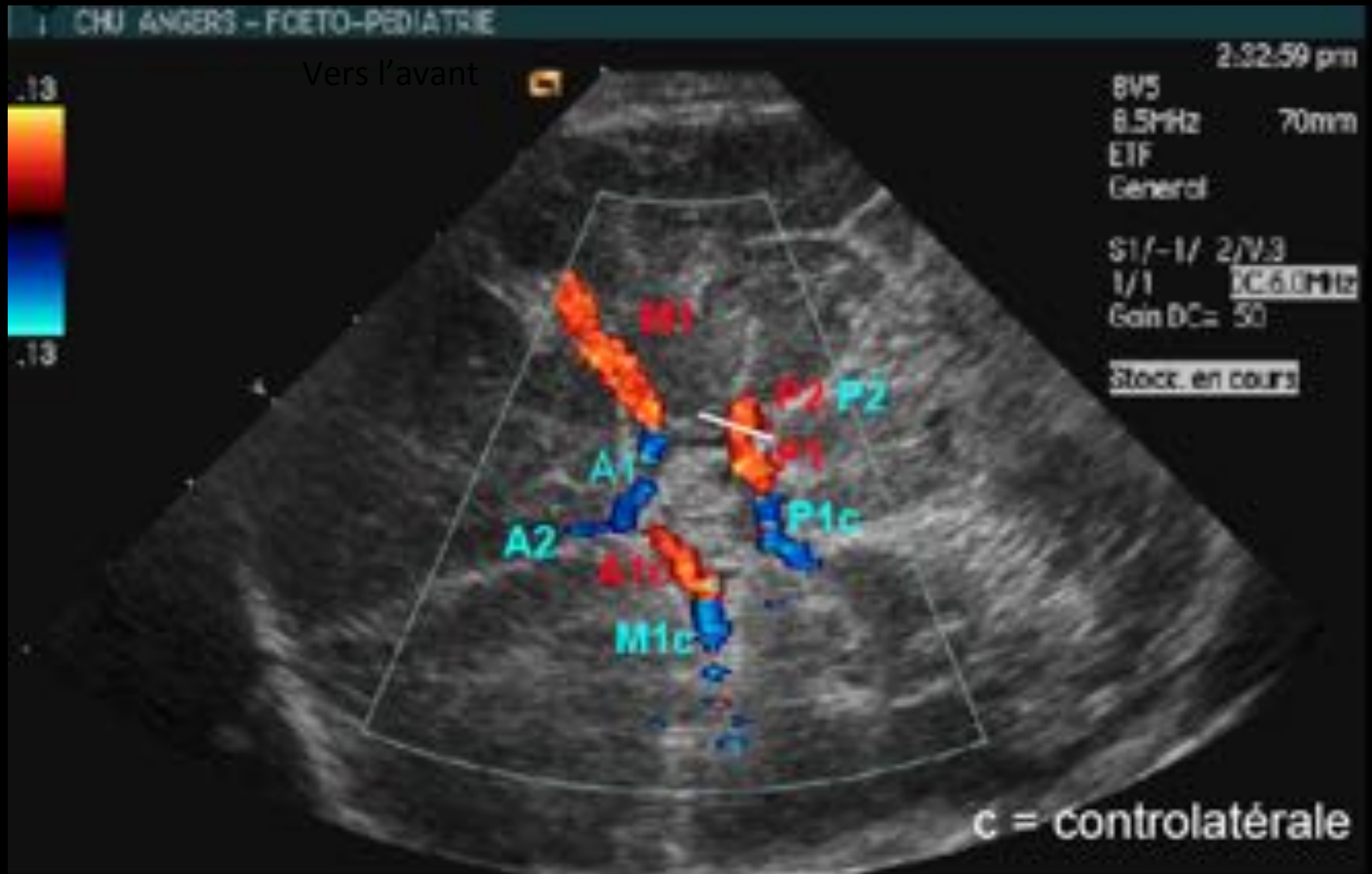
Echographie - Doppler intra crânien : *principe*



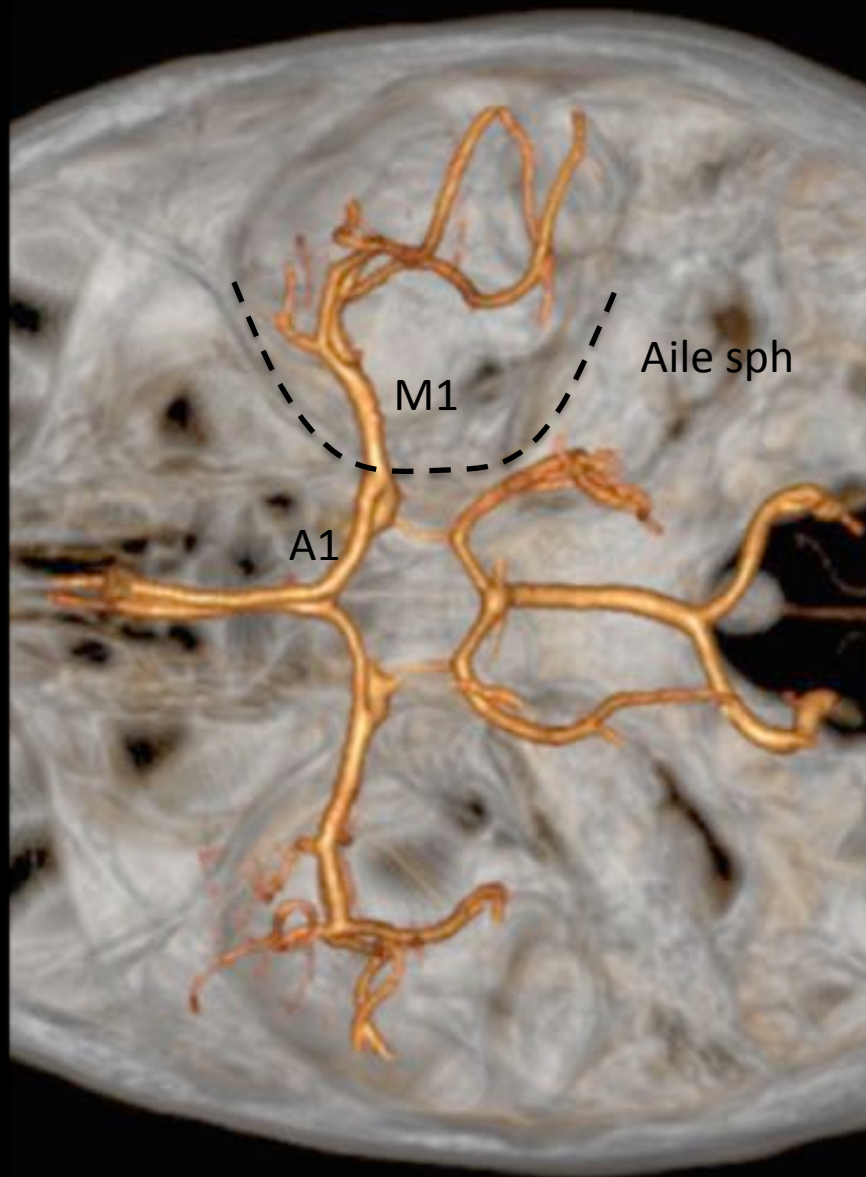
Echographie - Doppler intra crânien : *principe*



Doppler intra crânien : principe

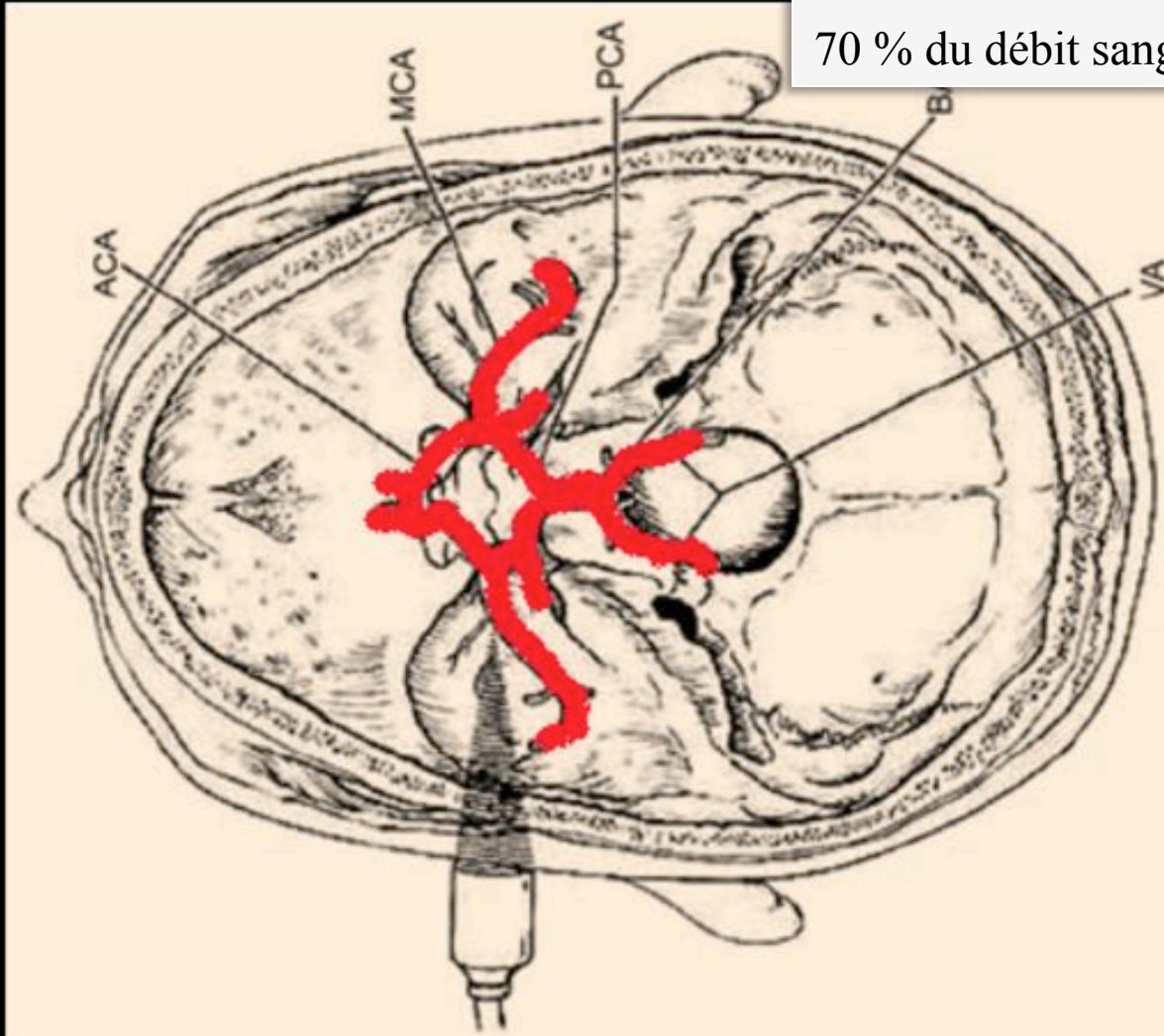


Doppler intra crânien : *reconnaître les reliefs osseux*

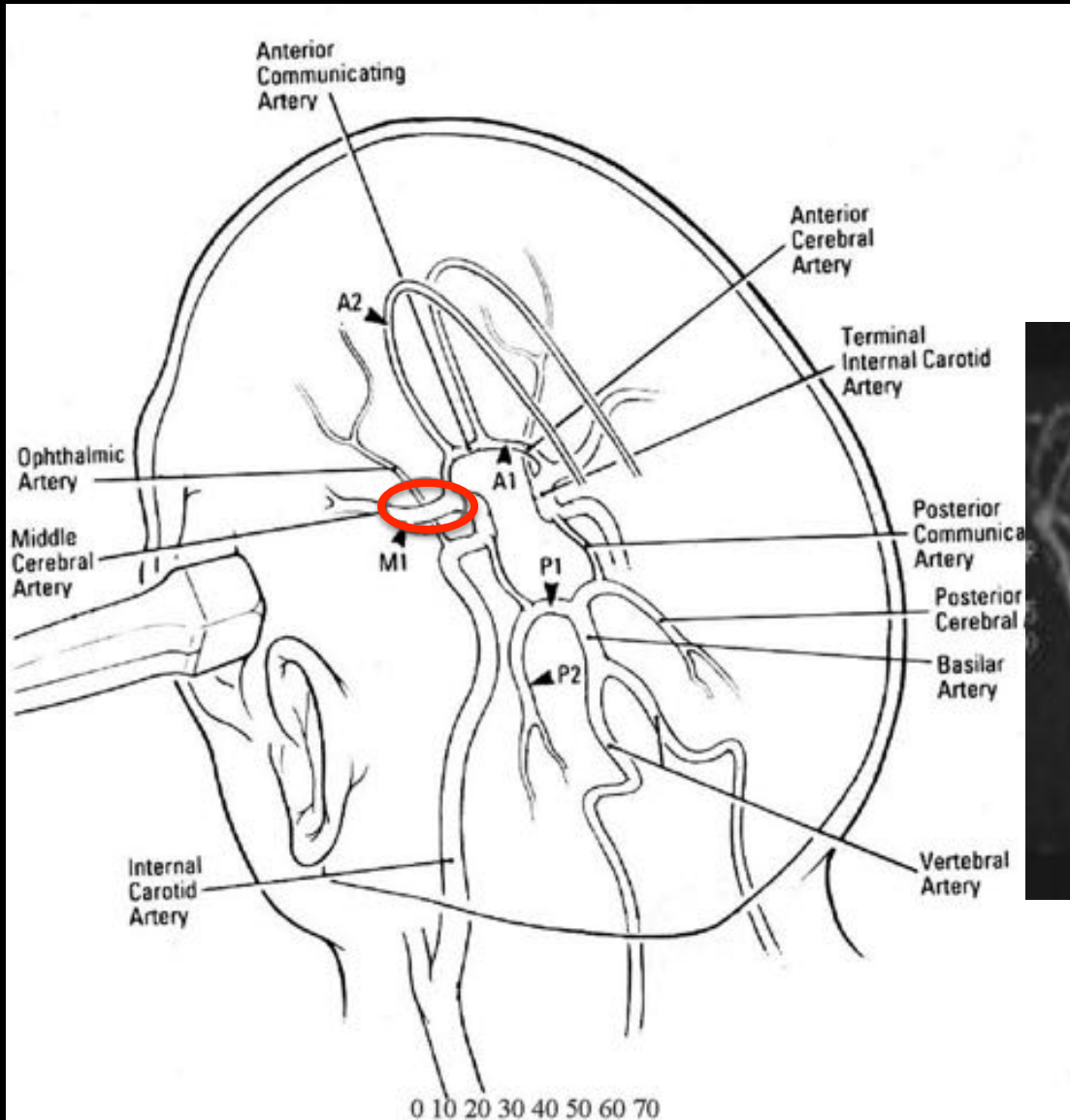


Doppler intra crânien : *anatomie, physiologie*

Flux sylvien (ACM)
=
70 % du débit sanguin cérébral



Doppler intra crânien : *principe*

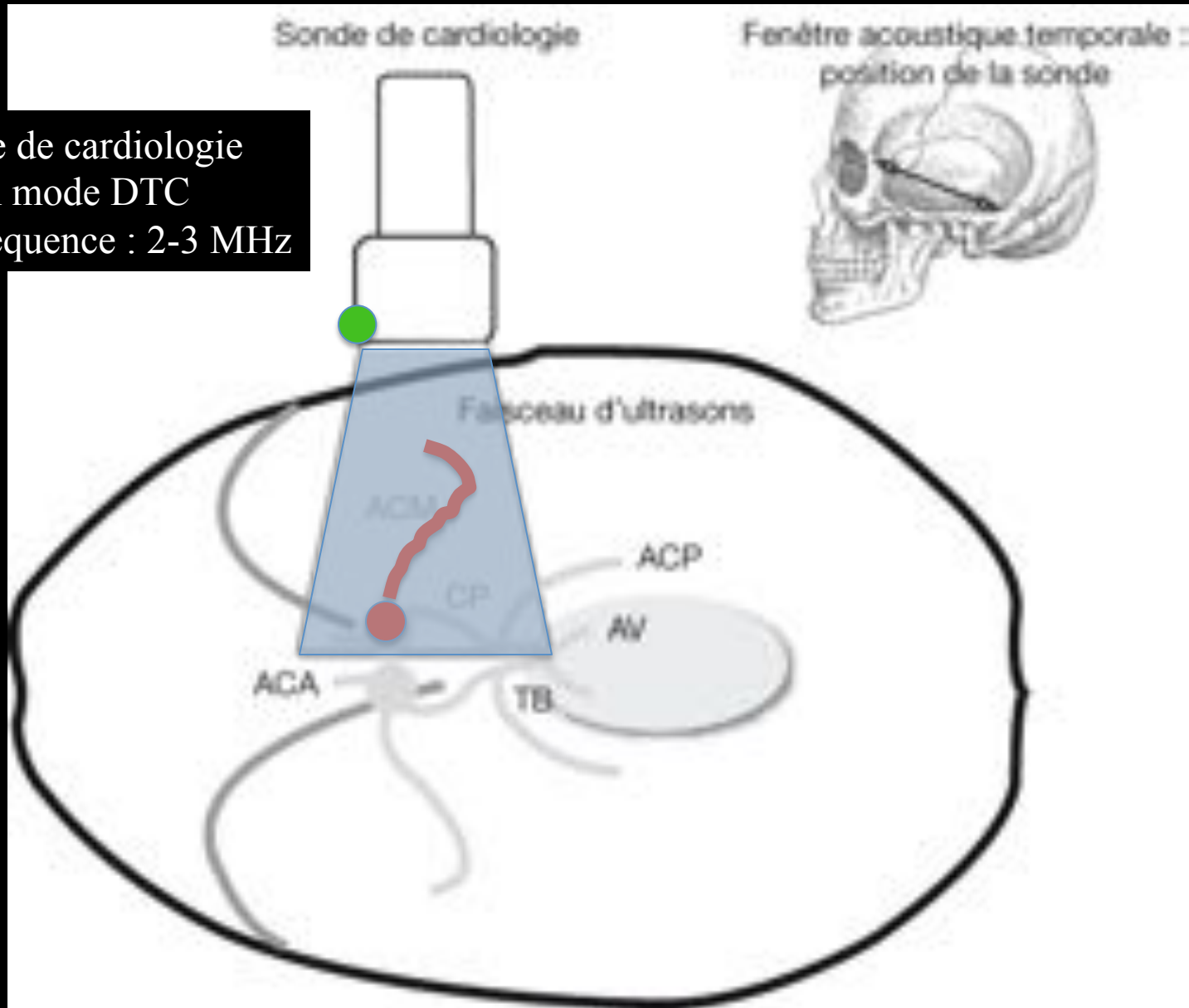


Flux sylvien (ACM)
=
Segment M1



Doppler intra crânien : principe

Sonde de cardiologie
En mode DTC
Basse fréquence : 2-3 MHz

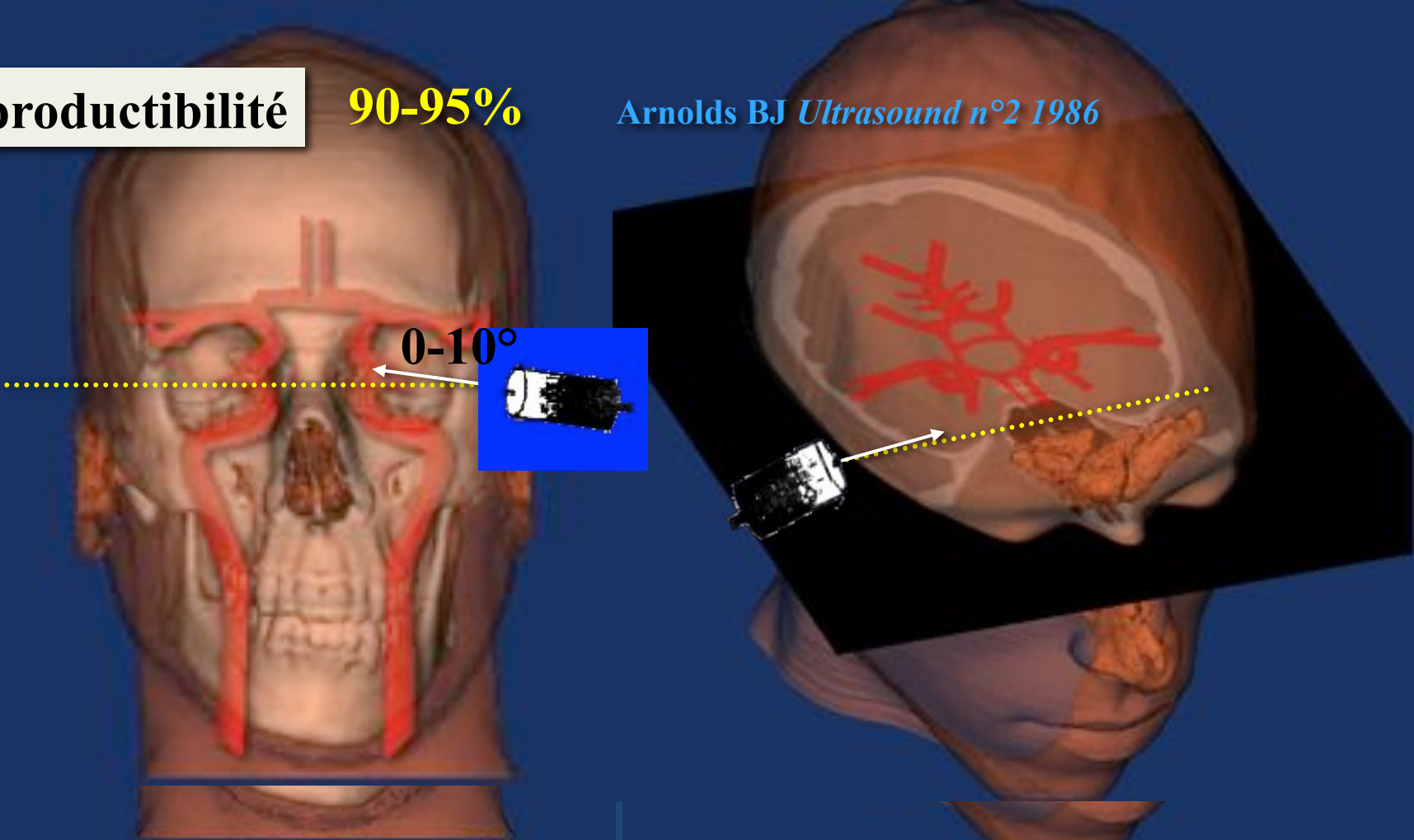


Doppler transcrânien de l' artère cérébrale moyenne : une bonne reproductibilité

Reproductibilité

90-95%

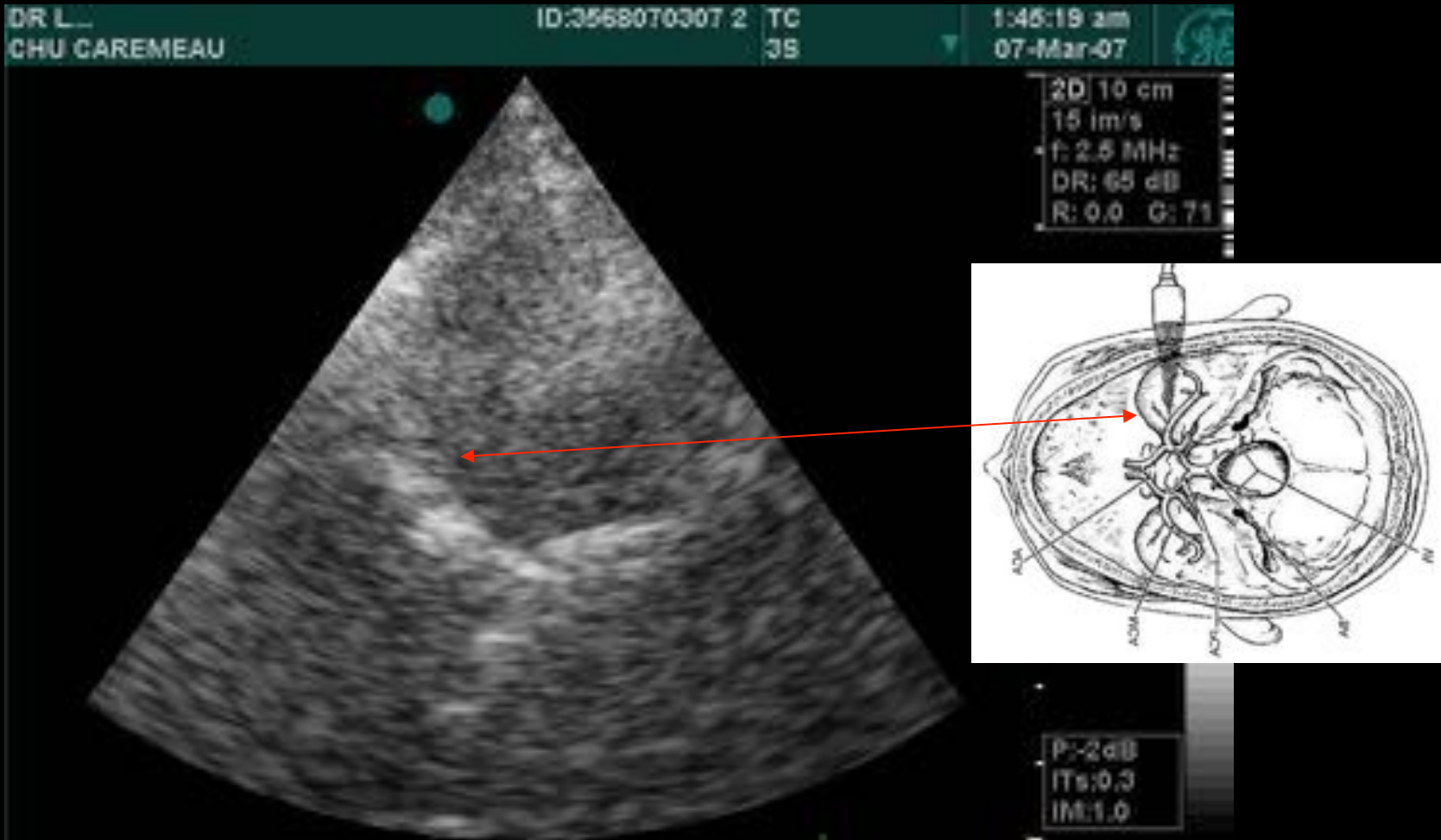
Arnolds BJ Ultrasound n°2 1986



Facteur essentiel = Variation de l'angle d'insonation

Maeda & coll Ultrasound n° 1991

Echo-Doppler intra crânien : 1. voir l' aile du sphénoïde



Aile du sphénoïde vue = les US ont traversé la boîte crânienne

Doppler intra crânien : 2. Repérage par Doppler couleur

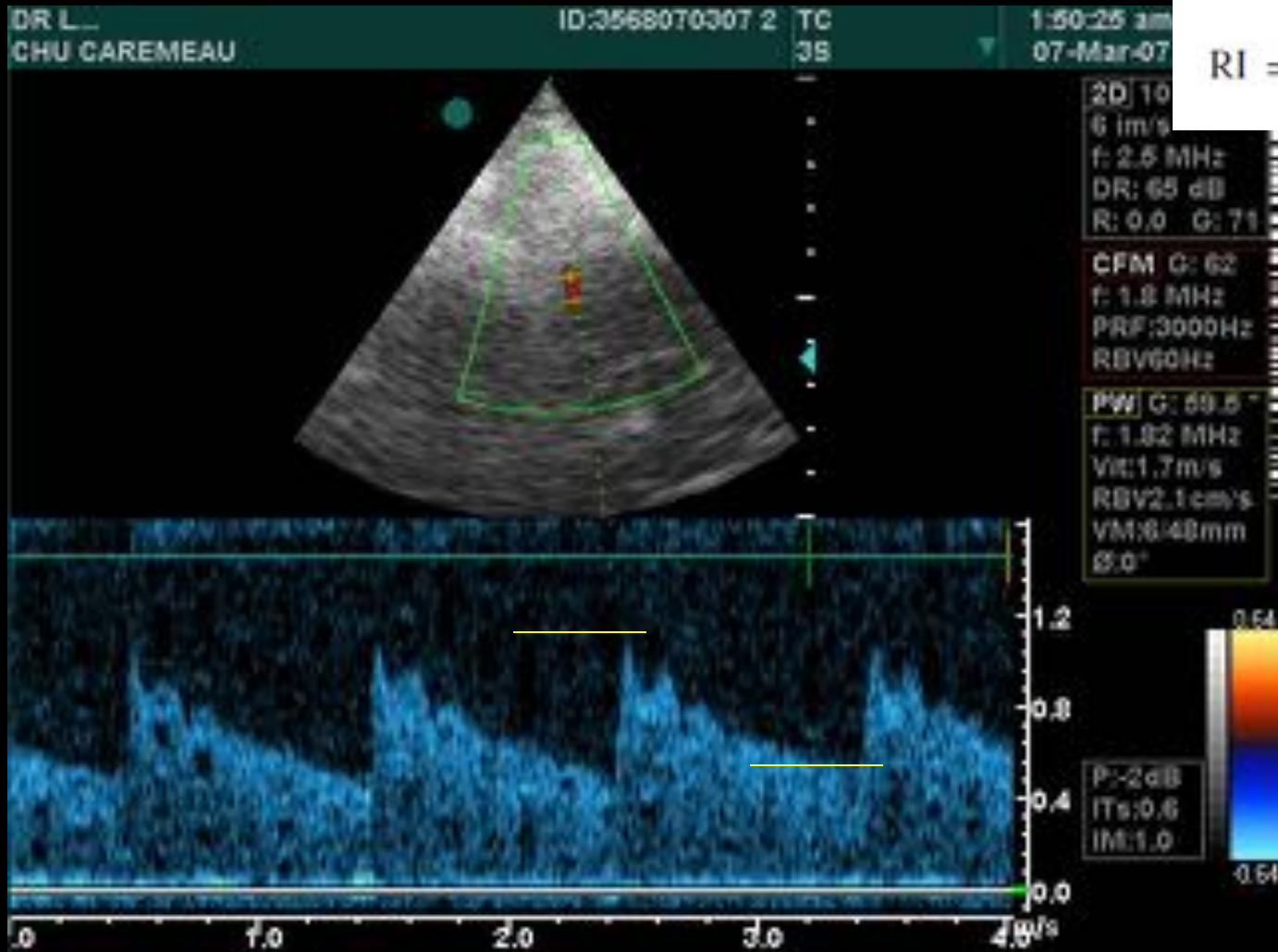


Doppler intra crânien : 3. Doppler pulsé

$$MV = \frac{PSV + (EDV \times 2)}{3}$$

$$PI = \left(\frac{PSV - EDV}{MV} \right)$$

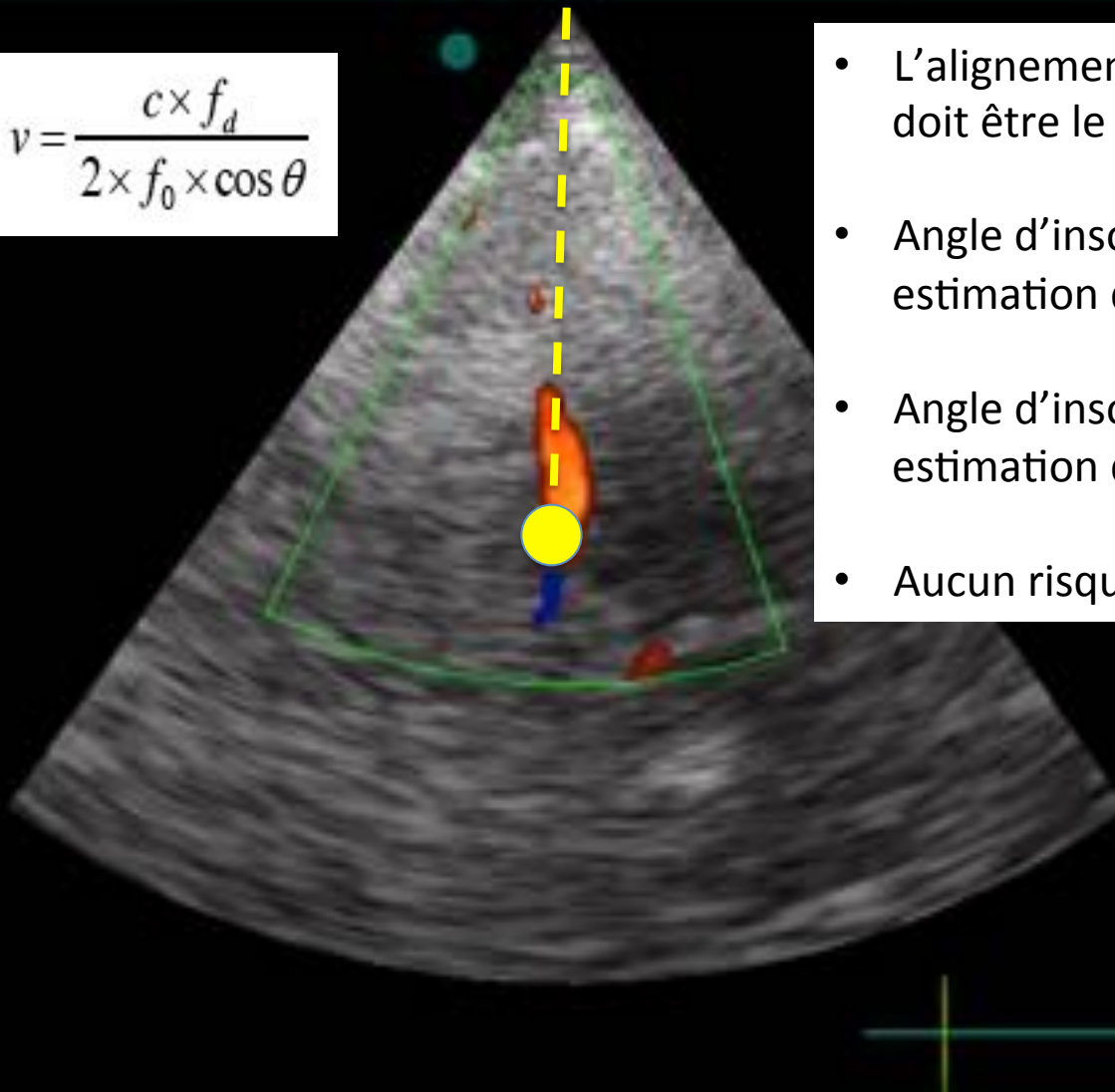
$$RI = \left(\frac{PSV - EDV}{PV} \right)$$



Doppler intra crânien : 3. Doppler pulsé sur le segment M1 (ACM)

DR L... ID:3568070307 2 TC 2:12:57 am
CHU CAREMEAU 39 07-Mar-07

$$v = \frac{c \times f_d}{2 \times f_0 \times \cos \theta}$$



- L'alignement du tir Doppler et du flux doit être le plus parfait possible
- Angle d'insonation de 10° = sous estimation de 2% des vitesses
- Angle d'insonation de 30° = sous estimation de 15 % des vitesses
- Aucun risque de surestimation



Doppler intra crânien de l' ACM : valeurs normales

	Formule	Normale adulte < 60 ans	Normale adulte > 60 ans
Paramètres mesurés			
Vitesse systolique (Vs) (cm/s)	-	75 – 105, max 200	60 – 100
Vitesse diastolique (Vd) (cm/s)	-	35 – 55	35 – 55
Paramètres calculés			
Vitesse moyenne (Vm)	$(V_s + (V_d \times 2)) / 3$	45 – 70	35 – 55
Index de pulsatilité (IP)	$(V_s - V_d) / V_m$	0,8 – 1,4	0,8 – 1,2
Index de Lindegaard (IL)	Vitesse ACM/ACI	< 3	< 3

Doppler intra crânien de l' ACM : valeurs pathologiques

Doppler transcrânien : valeurs d'alarme

Vd < 20 – 25 cm/s

Vm < 30 – 35 cm/s

IP > 1,2 – 1,4

2 des 3 critères présents : Hypoperfusion cérébrale grave appelant une manœuvre thérapeutique en urgence.

Doppler transcrânien : profils classiques

Vs basse, Vd basse, IP normal

Hypoperfusion d'origine systémique

Vs basse, Vd basse, IP élevé

Hypoperfusion d'origine cérébrale

Vs élevée, IP normal, IL < 3

Hyperhémie

Vs élevée, IP normal, IL > 3

Vasospasme

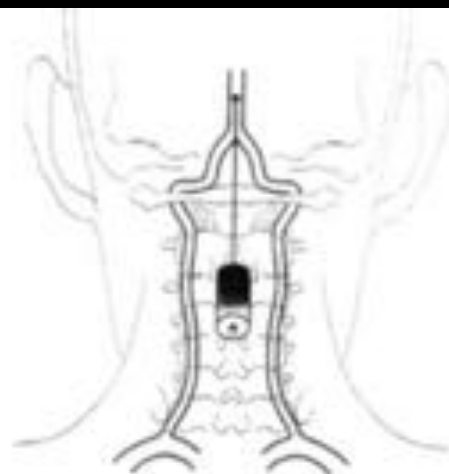
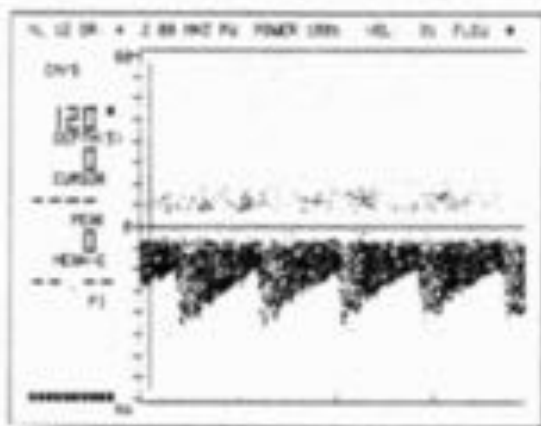
Doppler intra crânien : autres artères
...Peu utile en milieu non spécialisé

	Profondeur (mm)	Vm cm/s	Vs cm/s	Vd cm/s
ACM	45 - 60	60 ± 10	90 ± 15	40 ± 10
ACA	60 - 70	50 ± 13	75 ± 20	35 ± 10
ACP	60 - 70	40 ± 10	55 ± 12	26 ± 7
AV	60 - 85	35 ± 8	60 ± 15	25 ± 6
TB	75 - 110	40 ± 10	60 ± 15	25 ± 6

Doppler intra crânien : *autres artères*

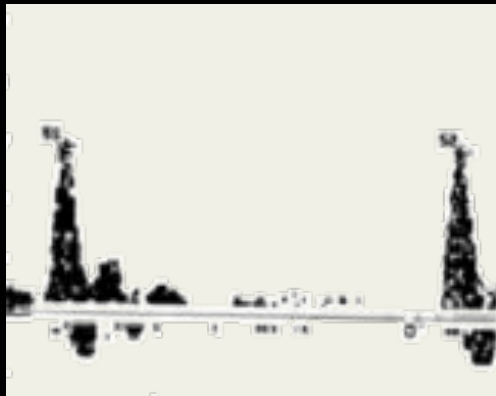


2 cm au-dessous de la bosse occipitale



Profondeur : 80 - 120 mm
Direction: Centrifuge
VM: 40 +/- 10 cm/s
Compression VA: Diminué

Doppler intra crânien de l'ACM : *une artère à basses résistances*



Artère musculaire

IP = 10



Artère mixte : carotide externe

IP = 5



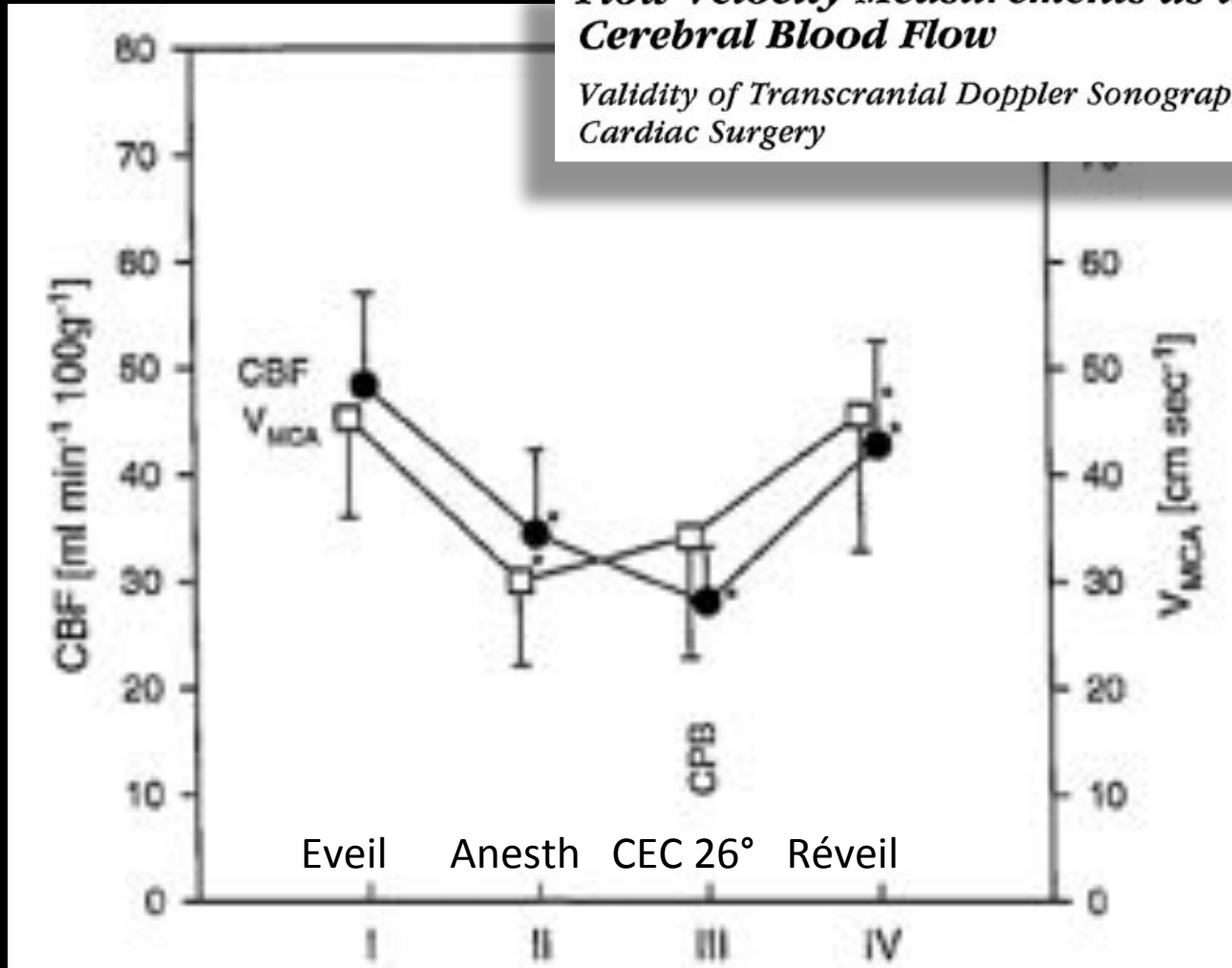
Artère **cérébrale moyenne**
ou carotide interne

IP = 1

Doppler transcrânien : *bonne correspondance Vm et DSC*

Flow Velocity Measurements as an Index of Cerebral Blood Flow

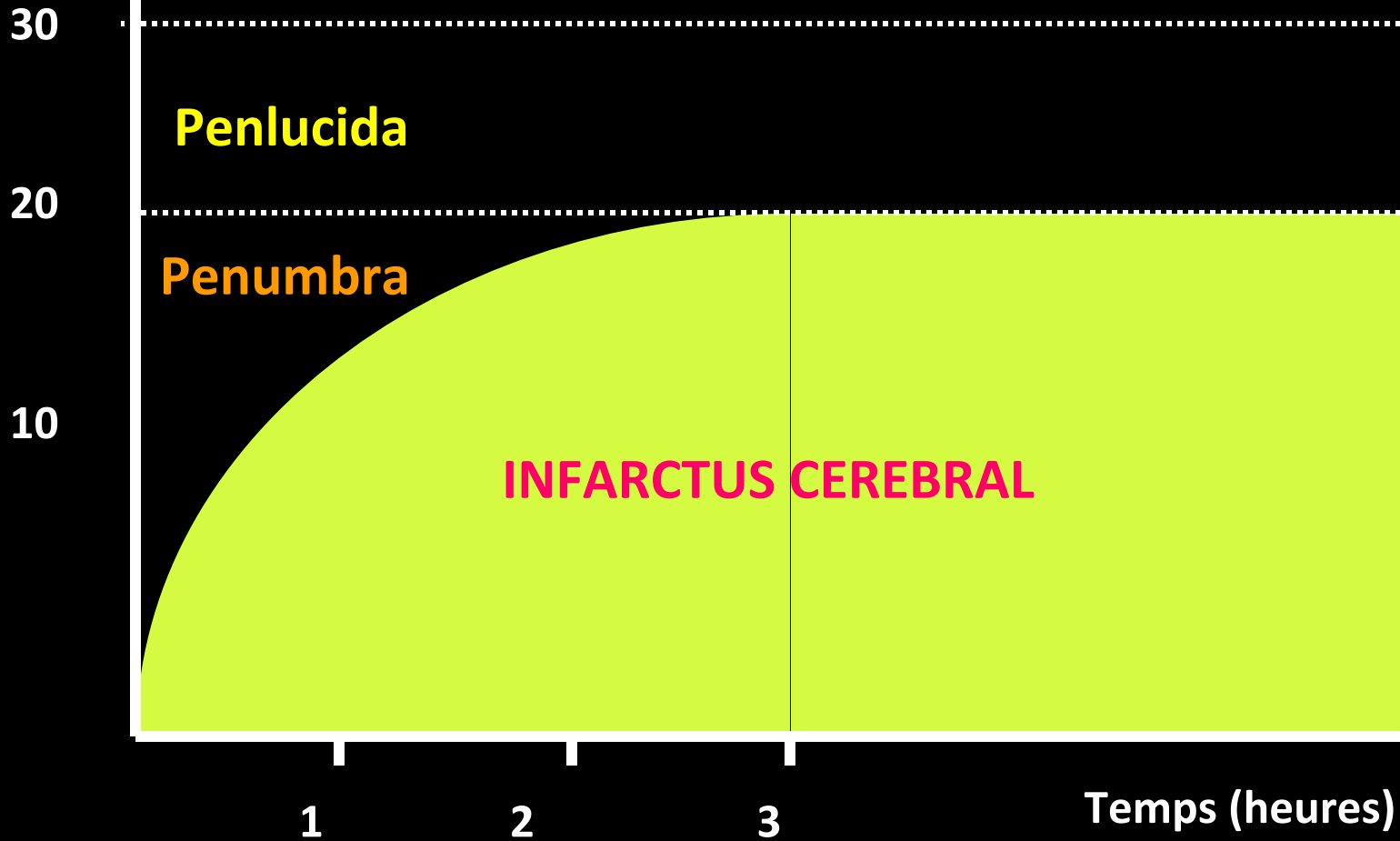
Validity of Transcranial Doppler Sonographic Monitoring during Cardiac Surgery



DSC (ml/100g/min)

RELATION DEBIT SANGUIN CEREBRAL ET ISCHEMIE

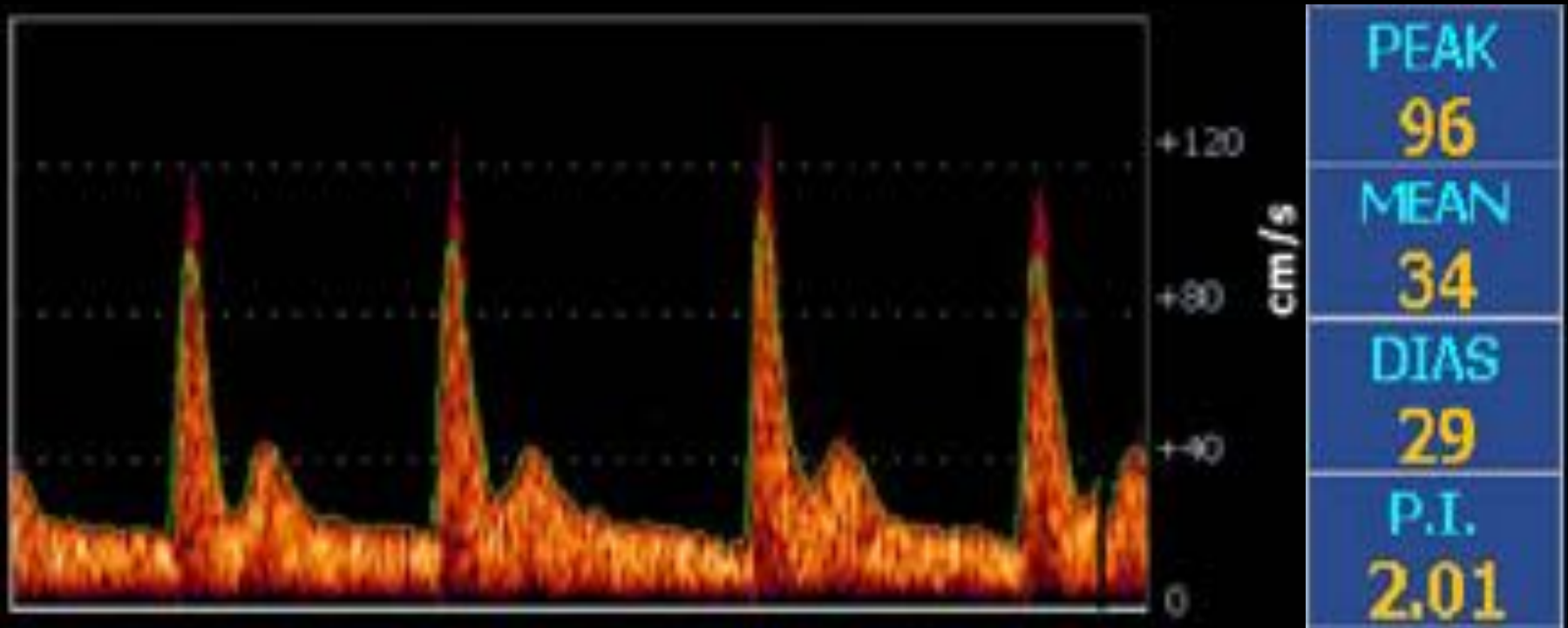
Young W et al *Anesthesia and Neurosurgery* 1994



2. Diagnostic d'HTIC

Doppler intra crânien (ACM) :

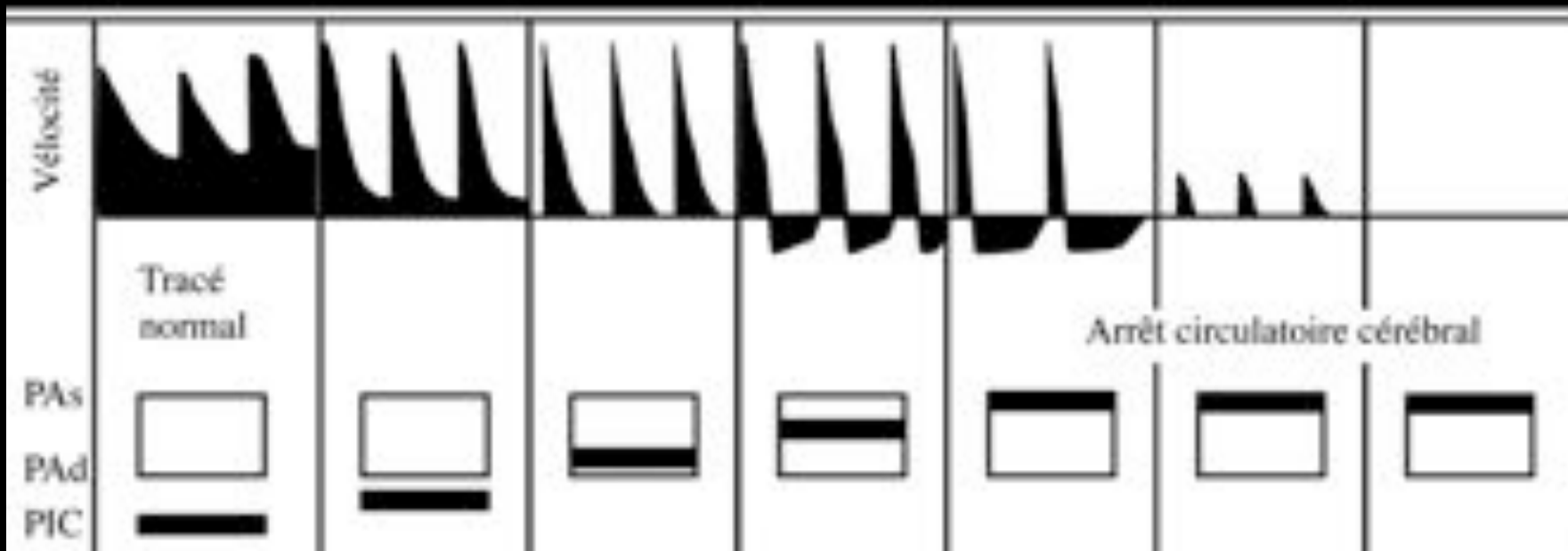
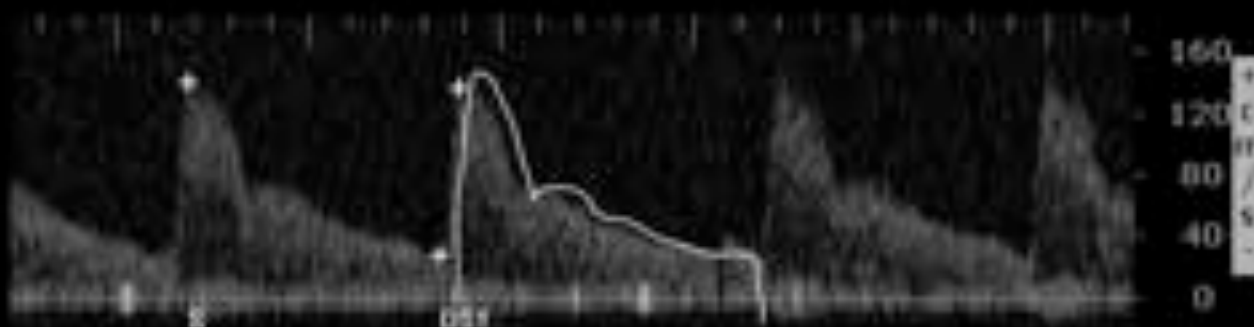
... aspect typique d'HTIC : Vs haute, Vd basse



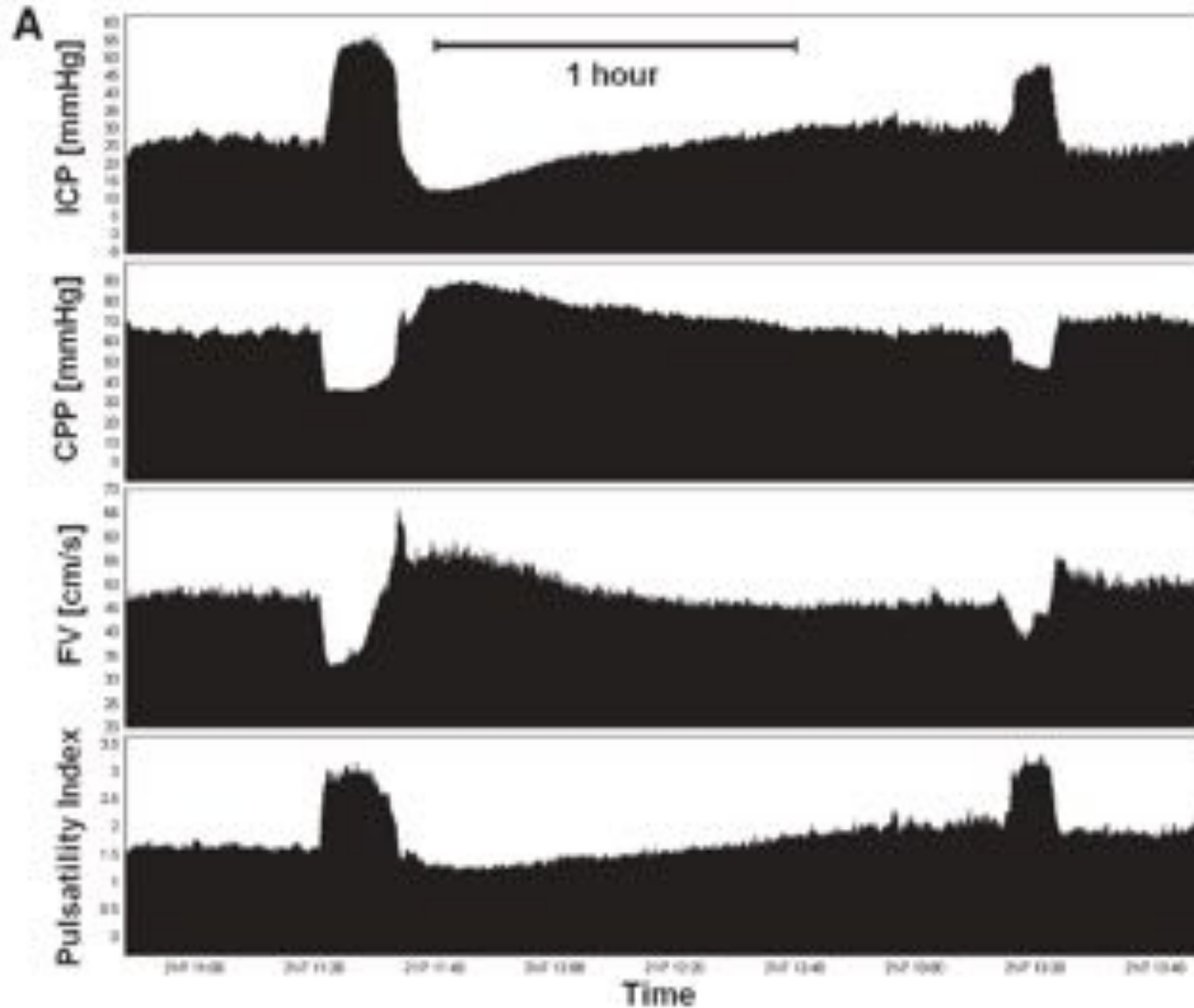
Evolution schématique du DTC lors de l'HTIC

La diastolique est plus affectée que la systolique

Sys. 142 cm/s
Diast. 28,8 cm/s
Vmoy 66,9 cm/s
IP 1,69
IR 0,797

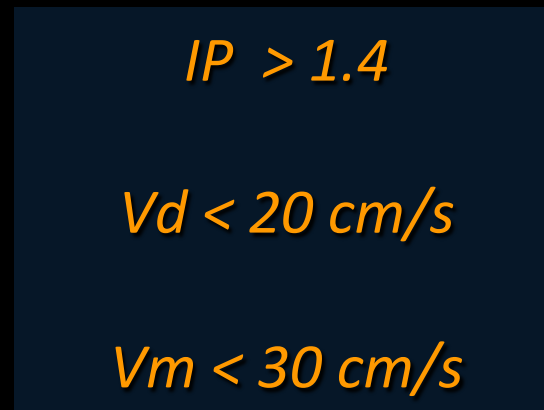


Evolution des VM, IP, de la PIC, de la PPC



Transcranial Doppler ultrasound goal-directed therapy for the early management of severe traumatic brain injury.

24 TC graves : GCS 3 – 8 aux urgences



OUI

NON

Groupe 1
N = 11

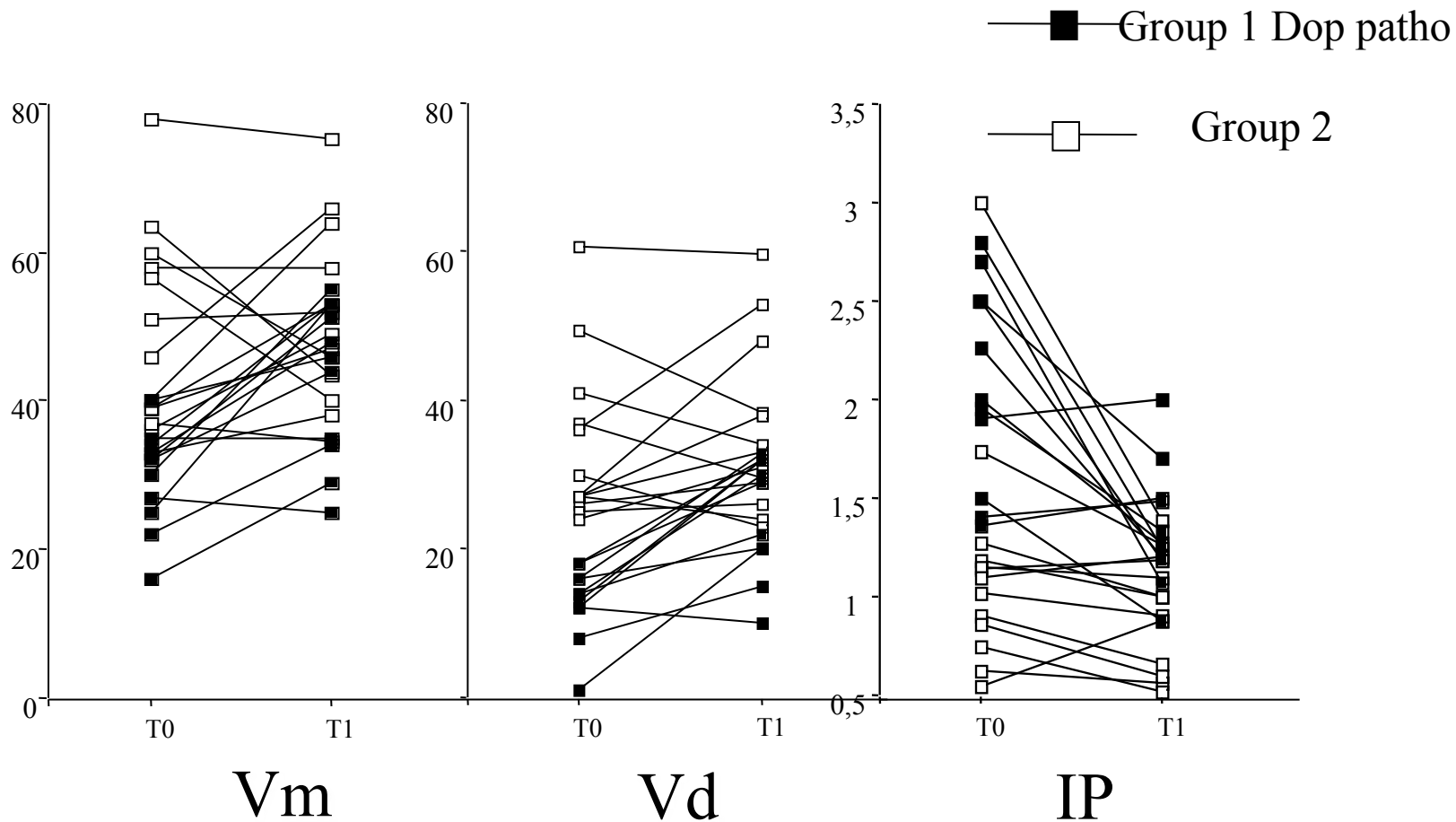
Groupe 2
N = 13

Transcranial Doppler ultrasound goal-directed therapy for the early management of severe traumatic brain injury.

	Doppler altéré	Doppler Normal
PIC	32±13	22±10**
PPC	73±15	71±14
SvjO ₂	67±2	72±9

Catherine Ract
Sophie Le Moigno
Nicolas Bruder
Bernard Vigué

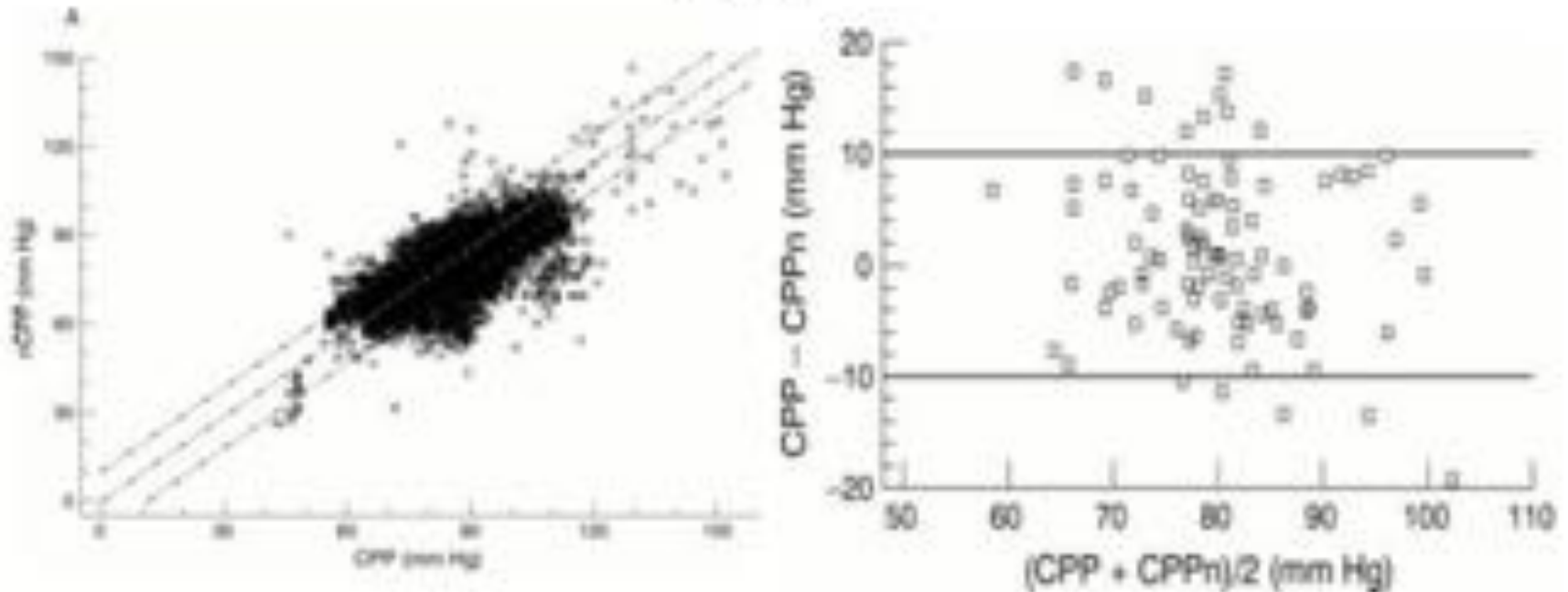
Transcranial Doppler ultrasound goal-directed therapy for the early management of severe traumatic brain injury



Le Doppler permet de guider le traitement initial

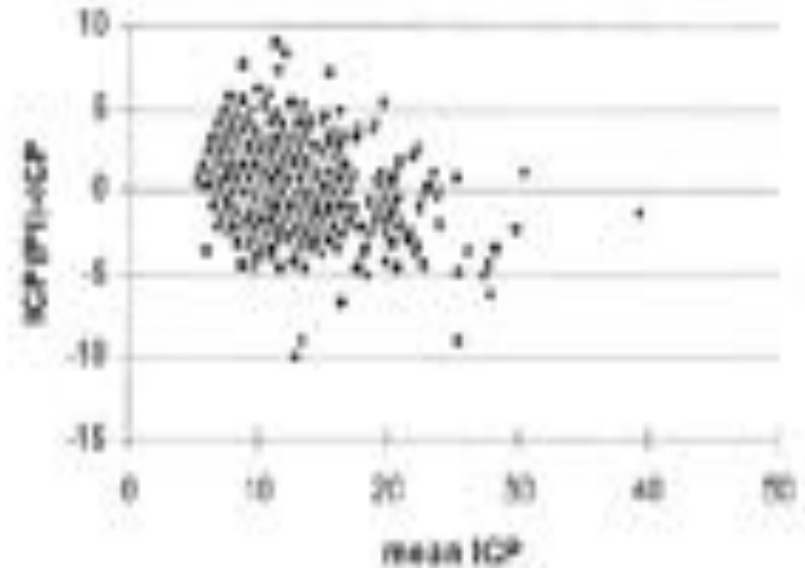
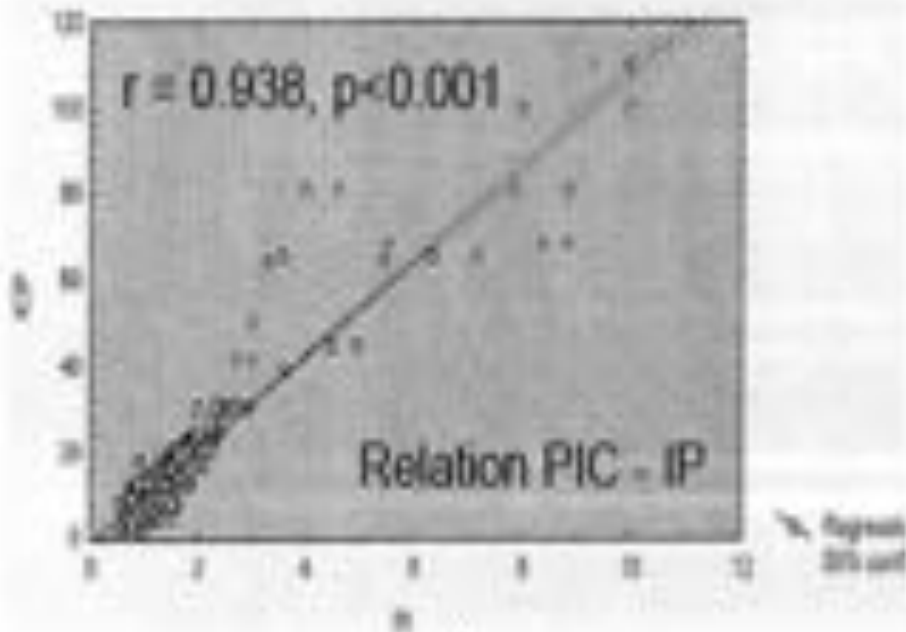
Doppler de l'ACM : corrélé à la PPC

$$PPCe = \frac{PAm \times Vdiast}{Vmoy} + 14mmHg$$



Czosnyka et al J Neurosurg 1998
Schmidt et al JNNP 2001
Zweifel et al Neurosurgery 2012

Doppler transcrânien et PIC : *une assez bonne corrélation*

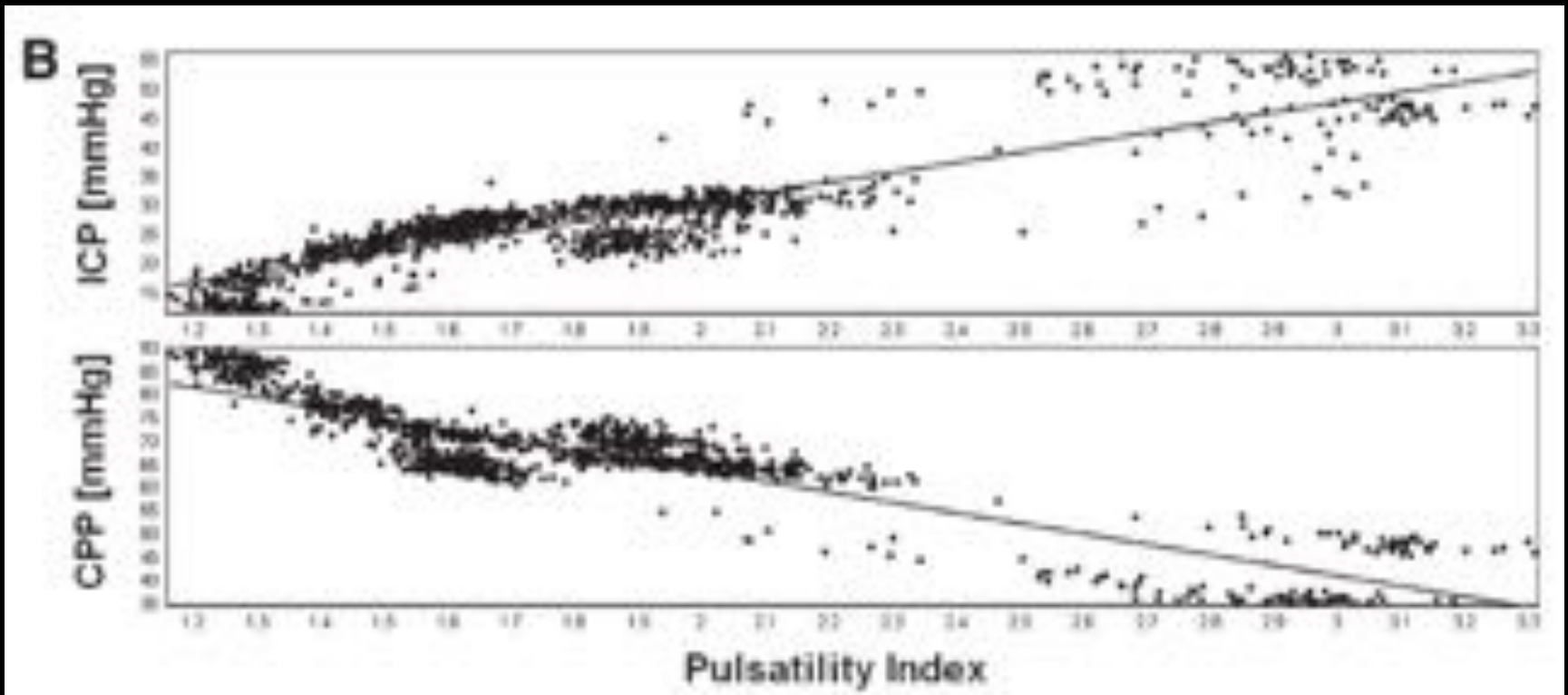


$$\text{PIC}(\text{IP}) = 11.1 \times \text{IP} - 1.43$$

Bellner et al Surg Neurol 2004
Brandi et al Acta Neurochir 2010

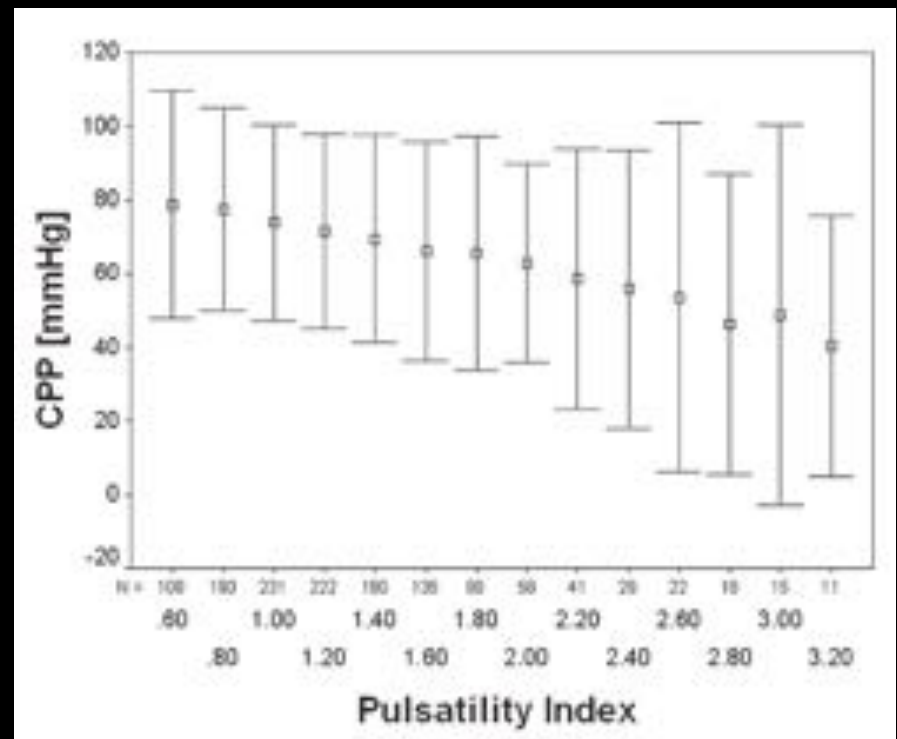
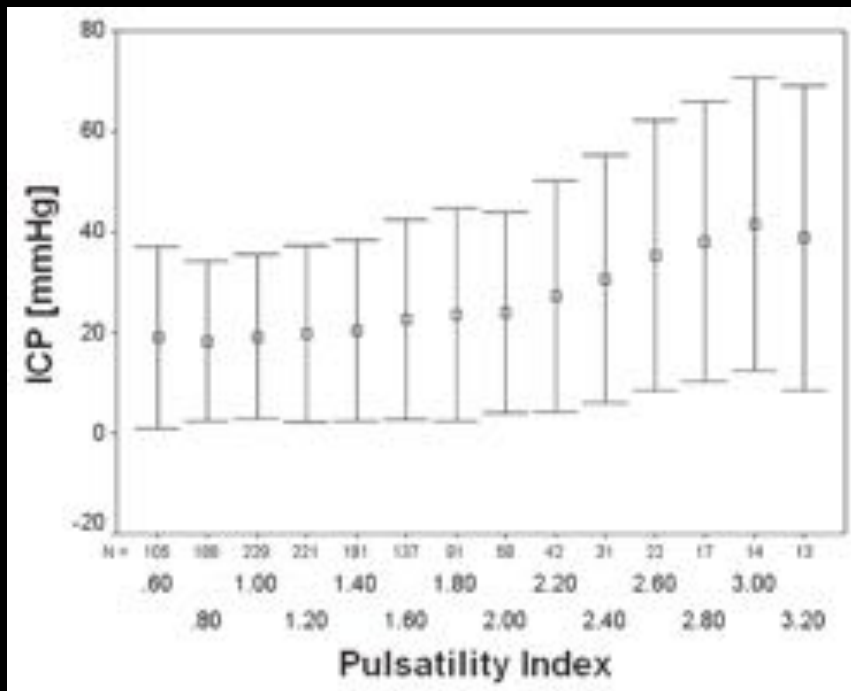
Doppler transcrânien et PIC : *il faut se méfier des corrélations*

1. La corrélation est excellente



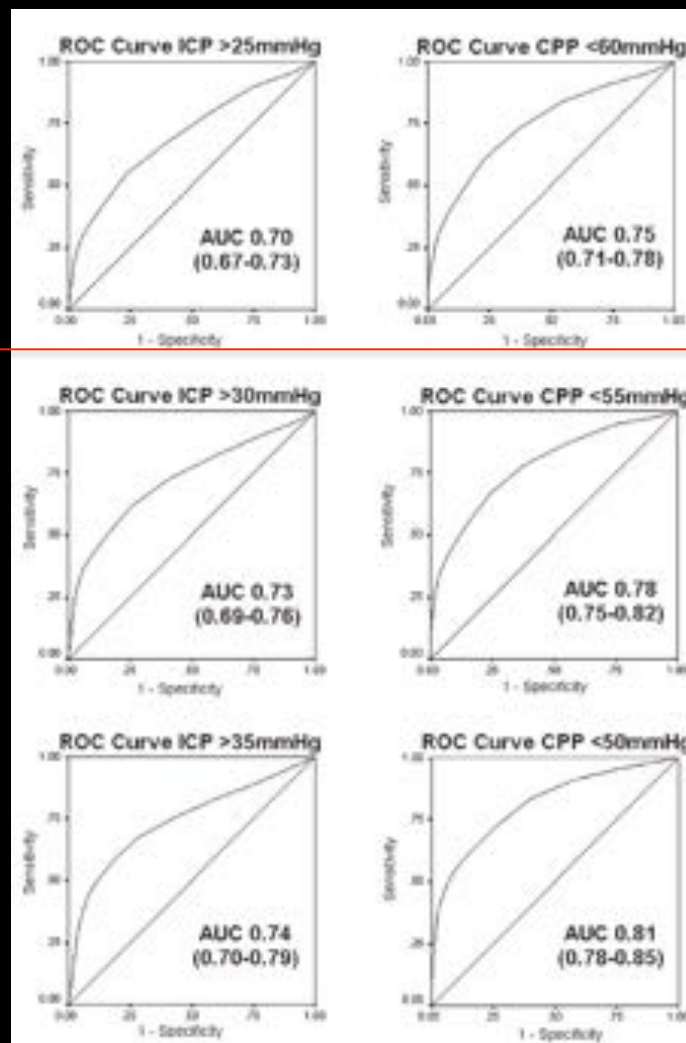
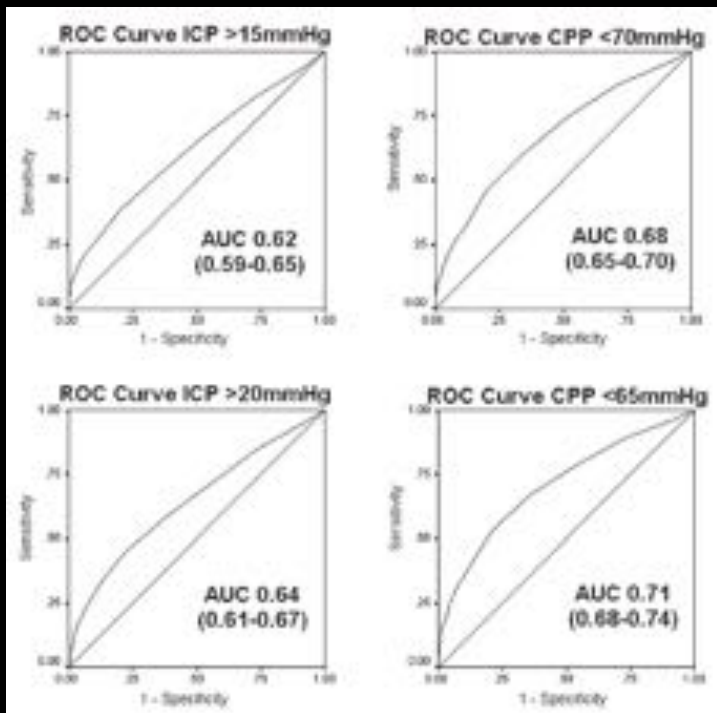
Doppler transcrânien et PIC : *il faut se méfier des corrélations*

2. ...Pourtant les déviations standards sont larges



Doppler transcrânien et PIC : *il faut se méfier des corrélations*

3. ..et le Doppler n'est bon que pour les valeurs de PIC élevées (ou PPC basse)



Doppler transcrânien et PIC : bon dans des situations caricaturales

Ne remplace pas un monitoring continu de la PIC

RESULTS: Seven hundred sixty-two recorded daily sessions from 290 patients were analyzed with a total recording time of 499.9 hours. The correlation between PI and ICP was 0.31 ($P < .001$) and for PI and CPP -0.41 ($P < .001$). The 95% prediction interval of ICP values for a given PI was more than ± 15 mm Hg and for CPP more than ± 25 mm Hg. The diagnostic value of PI to assess ICP area under the curve ranged from 0.62 (ICP > 15 mm Hg) to 0.74 (ICP > 35 mm Hg). For CPP, the area under the curve ranged from 0.68 (CPP < 70 mm Hg) to 0.81 (CPP < 50 mm Hg). Probability charts for elevated ICP/lowered CPP depending on PI were created.

CONCLUSION

The diagnostic value of TCD FV pulsatility index for direct noninvasive assessment of ICP and CPP is very limited. However, because its measurement can be readily and repeatedly performed, and given careful probability-led interpretation, PI may still have value as a diagnosis-supporting tool where highly elevated ICP or dangerously decreased CPP is suspected.

Doppler transcrânien : *valable y compris en cas de gravité moyenne*

Transcranial Doppler to Screen on Admission Patients With Mild to Moderate Traumatic Brain Injury

TABLE 1. Univariate Analysis of Demographic and Biochemical Data Collected on Admission in 98 Patients With Mild to Moderate Traumatic Brain Injury According to Their Neurological Status on Posttrauma Day 7: Patients With and Without Secondary Neurological Deterioration^a

	No SND (n = 77)	SND (n = 21)	P
Age, y	34 (15-84)	46 (20-80)	.04
Sex, M/F	64/13	20/1	.16
Injury type, n			.20
Motor vehicle accident	32	8	
Sports	24	3	
Others	21	10	
Initial GSC score	14 (9-15)	13 (10-15)	<.01
ISS	9 (2-43)	13 (5-41)	<.01
H-AIS	1 (1-4)	3 (3-4)	<.01
Extracranial injuries (yes/no), n	40/37	13/8	.57
Heart rate, bpm	78 (49-119)	75 (44-120)	.46
MAP, mm Hg	90 (60-114)	93 (64-158)	.69
Hemoglobin, g/dL	14.0 (8.0-18.6)	13.5 (7.0-16.8)	.03
Serum sodium, mmol/L	141 (133-149)	140 (135-146)	.33
Mechanical ventilation (yes/no), n	10/67	11/10	<.01
Vasoactive agents (yes/no), n	3/74	8/13	<.01
TCDB I/II	53/24	0/21	<.01
Injury-to-CT time, min	180 (65-540)	120 (15-210)	<.01

- SND = secondary neurological deterioration
- = perte de 2 points de Glasgow

Doppler transcrânien : *valable y compris en cas de gravité moyenne*

TABLE 2. Univariate Analysis of Transcranial Doppler Measurements Collected on Admission in 98 Patients With Mild to Moderate Traumatic Brain Injury According to Their Neurological Status on Posttrauma Day 7: Patients With and Without Secondary Neurological Deterioration^a

	No SND (n = 77)	SND (n = 21)	P
FVm, cm/s	49 (31-80)	31 (18-60)	<.01
FVs, cm/s	84 (47-128)	69 (38-119)	<.01
FVd, cm/s	34 (18-64)	18 (11-36)	<.01
Pulsatility index	1.02 (0.66-1.83)	1.47 (1.07-2.33)	<.01
Injury-to-TCD time, min	215 (42-700)	300 (90-690)	.03

Doppler transcrânien : *valable y compris en cas de gravité moyenne*

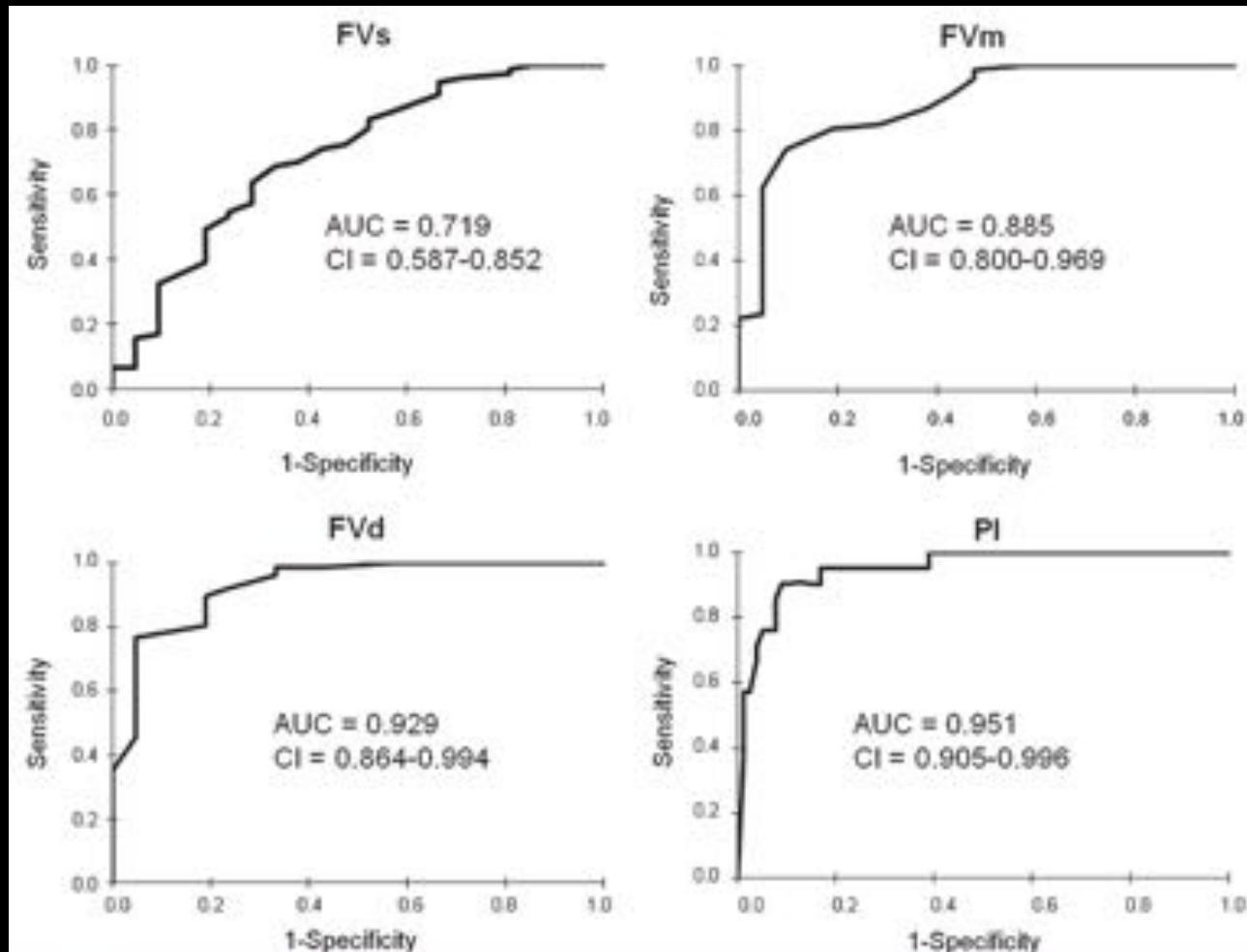


FIGURE 1. Receiver-operating characteristic curves of the transcranial Doppler (TCD) parameters. AUC, area under the curve; CI, 95% confidence interval; FVd, FVm, and FVs, diastolic, mean, and systolic cerebral blood flow velocities, respectively; PI, pulsatility index.

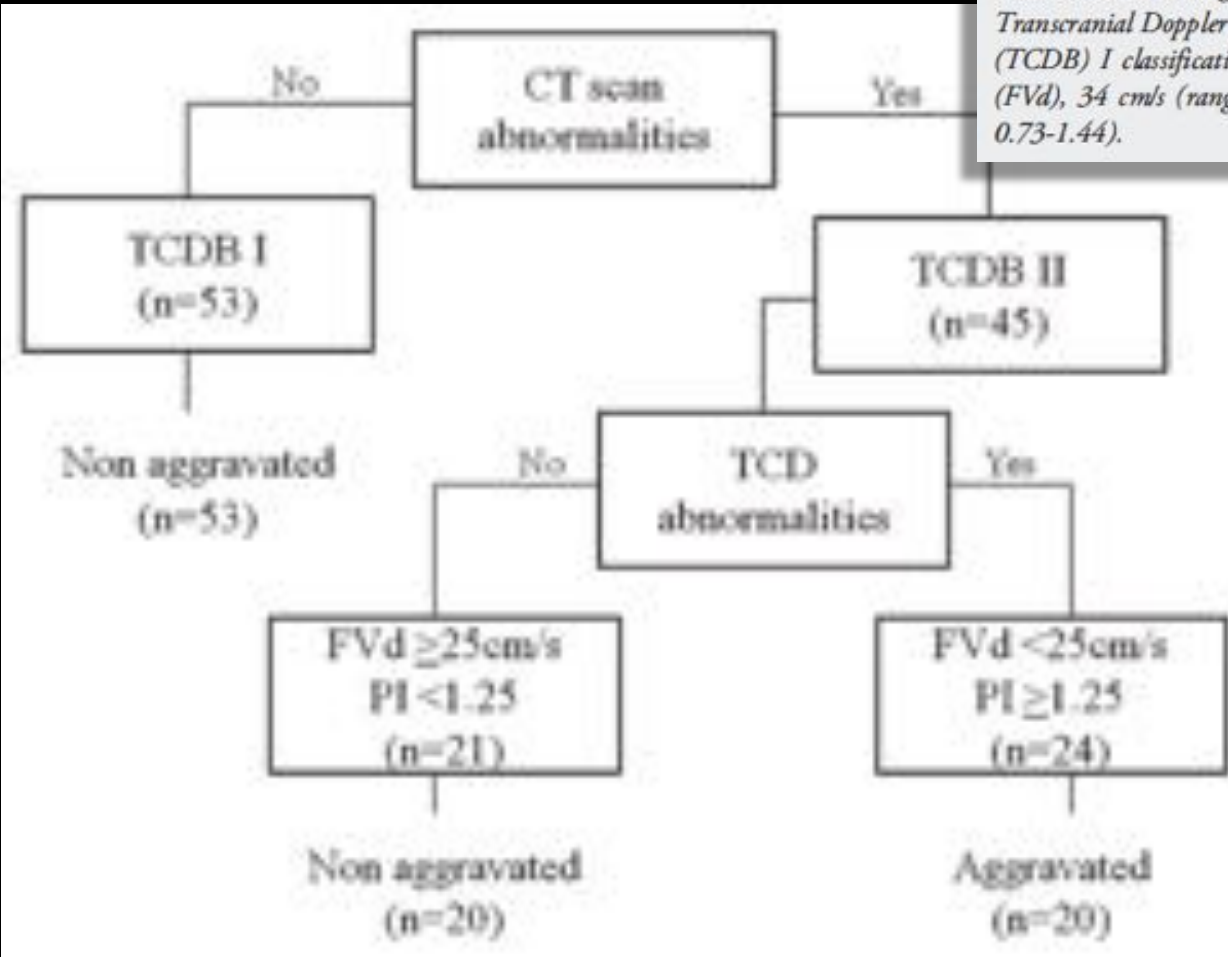
Doppler transcrânien : *valable y compris en cas de gravité moyenne*

TABLE 3. Threshold Values and the Corresponding Sensitivity, Specificity, and Positive and Negative Likelihood Ratios of Each Transcranial Doppler Parameter^a

TCD Parameter	Cutoff	Sensitivity, %	Specificity, %	Correctly Classified, %	PLR	NLR
FVm	33 cm/s	99	52	89	2.1	0.02
FVs	58 cm/s	95	33	82	1.4	0.16
FVd	25 cm/s	92	76	89	3.9	0.10
PI	1.25	90	91	91	9.9	0.10

Doppler transcrânien : *valable y compris en cas de gravité moyenne*

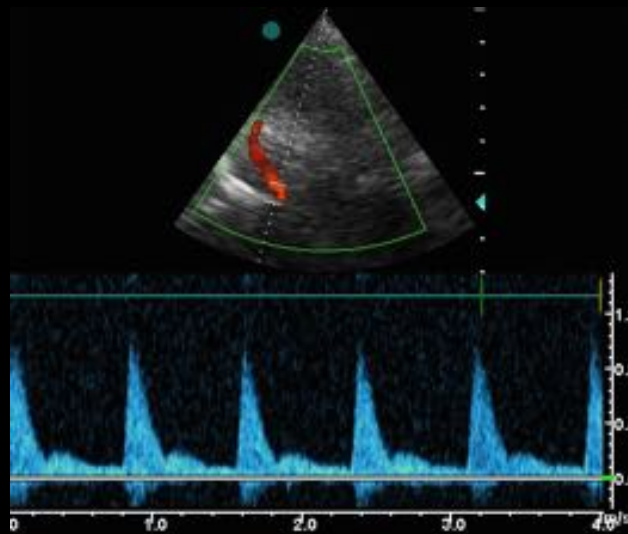
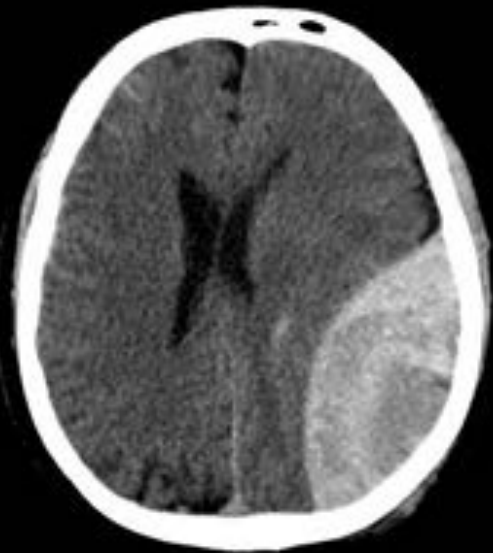
FIGURE 2. Prediction tree constructed from recursive-partitioning analysis according to the incidence of subsequent neurological deterioration in 98 patients admitted to the emergency room after mild to moderate traumatic brain injury. Transcranial Doppler (TCD) values of patients with Trauma Coma Data Bank (TCDB) I classification were as follows: diastolic cerebral blood flow velocity (FVd), 34 cm/s (range, 18-64 cm/s); and pulsatility index (PI), 1.03 (range, 0.73-1.44).



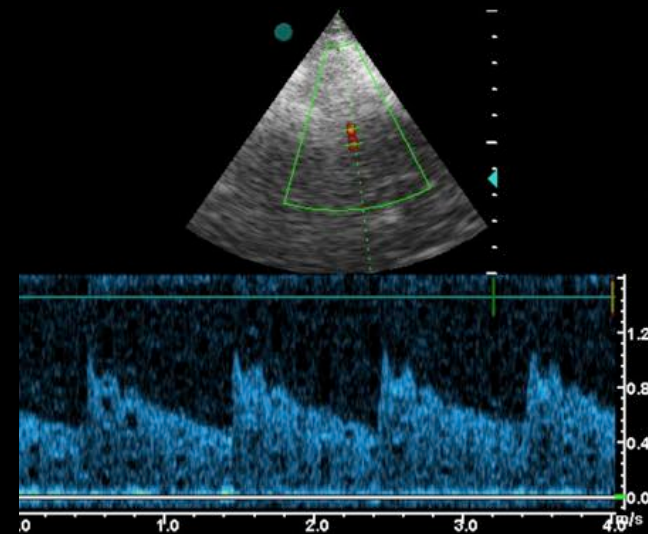
Circulation cérébrale et HIC :

reconnaitre une indication de traitement urgent

Ne pas baisser les bras trop vite



Pré op
PA = 90/50
Glasgow 8



Post op
PA = 140/90
Glasgow 13

Doppler transcrânien et détection des ACSOS : *Premier ACSOS = niveau de PA*

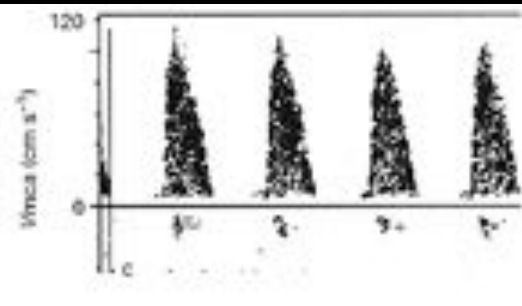
110/60 mm Hg

$V_{mca} = 61 \text{ cm/s}$



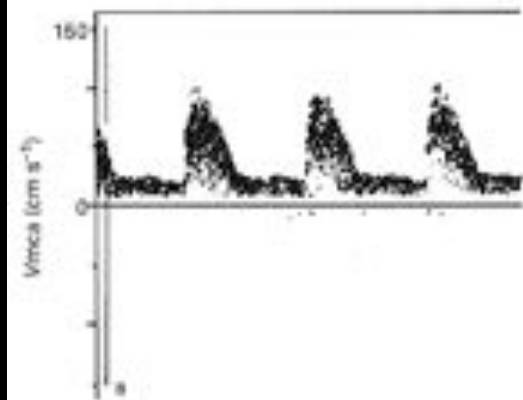
68/35 mm Hg

$V_{mca} = 34 \text{ cm/s}$



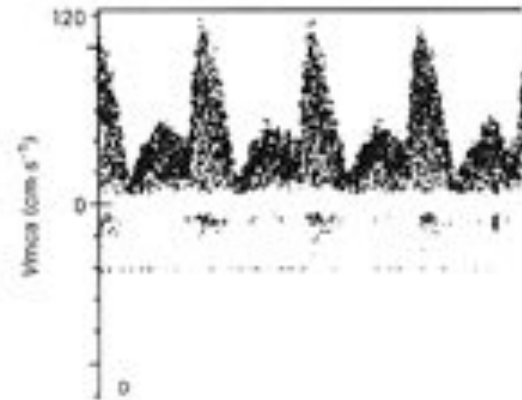
85/37 mm Hg

$V_{mca} = 46 \text{ cm/s}$



115/58 mm Hg

$V_{mca} = 60 \text{ cm/s}$



Doppler transcrânien et HTIC : *Risques de faux positifs si HTA ancienne*

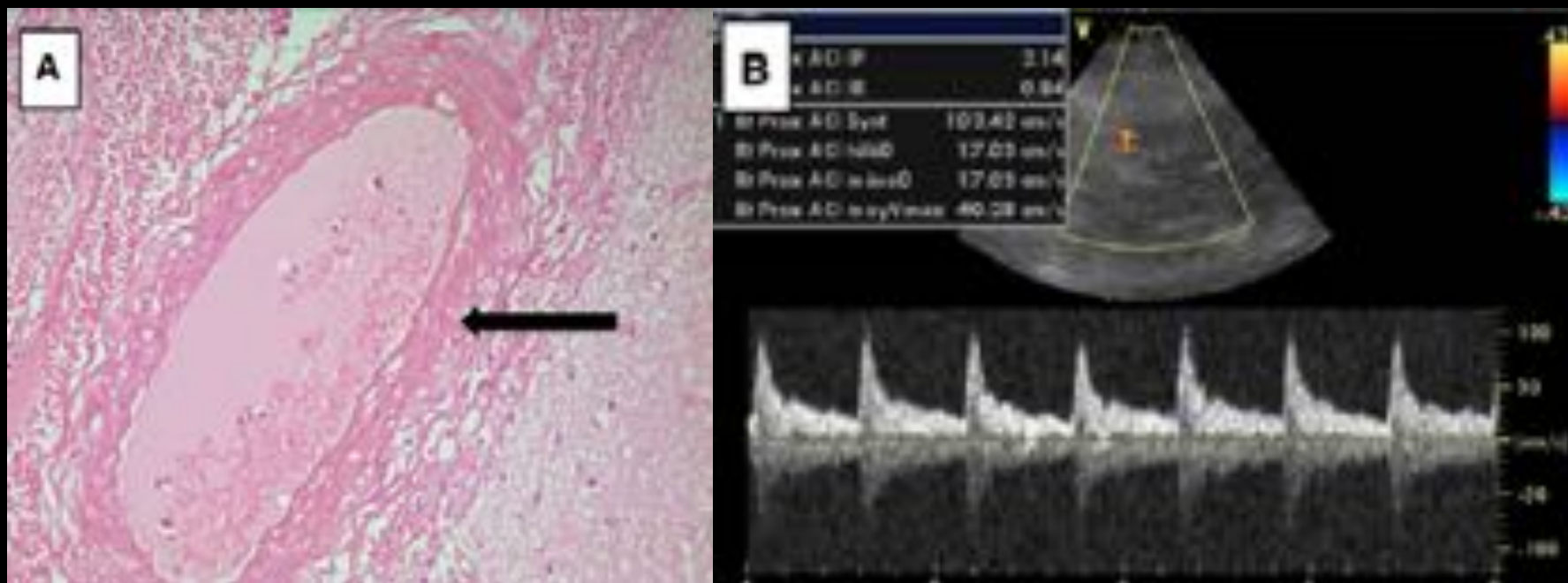
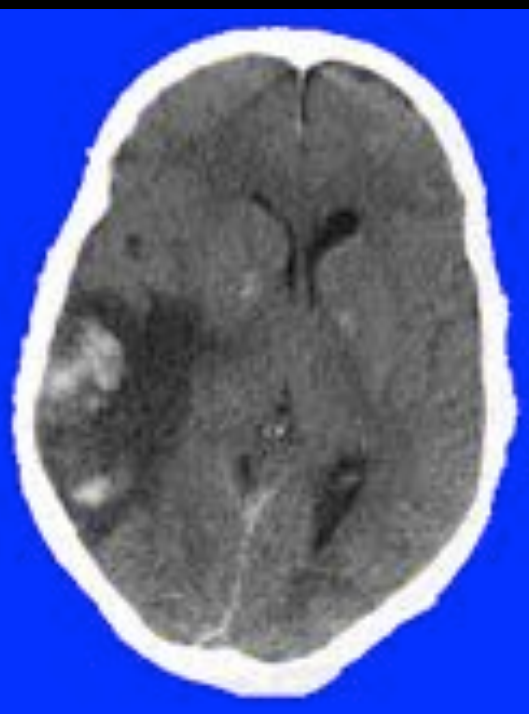


Fig. 1 Example post-mortem histopathology of brain tissue showing vasculopathy in cerebral vessels in one patient with low ICP and high PI (*Panel A*). Note the thickness of the vessel wall at the media level (*arrow*). Example of transcranial Doppler of the middle cerebral artery with low DV and high PI despite low ICP (*Panel B*)

Doppler tranocrânien : ...monitorage des traitements

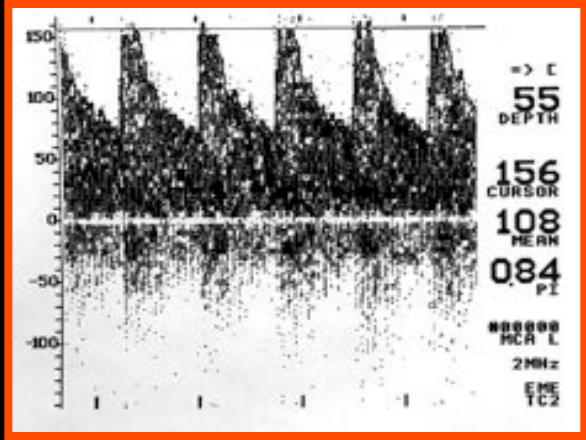
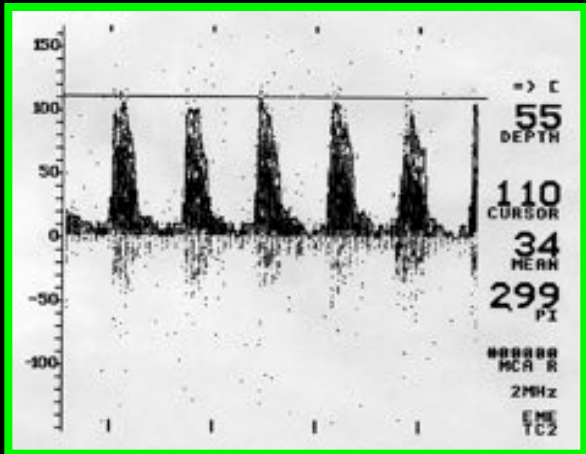
Diapo personnelle N Bruder CHU Marseille

Traitement de l'HIC : Mannitol



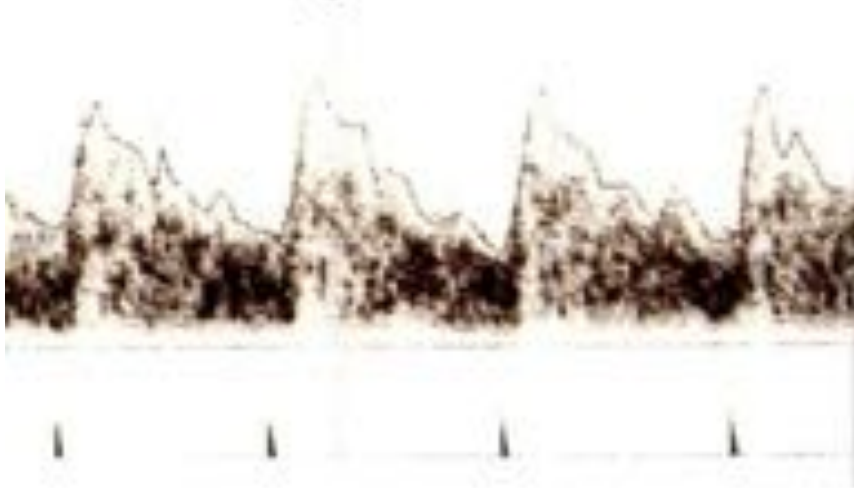
71	46	51
22	96	61
PIC	PPC	SjO ₂
mm Hg	mm Hg	%

- Avant
- Après



Diagnostic indirect de dissection carotidienne

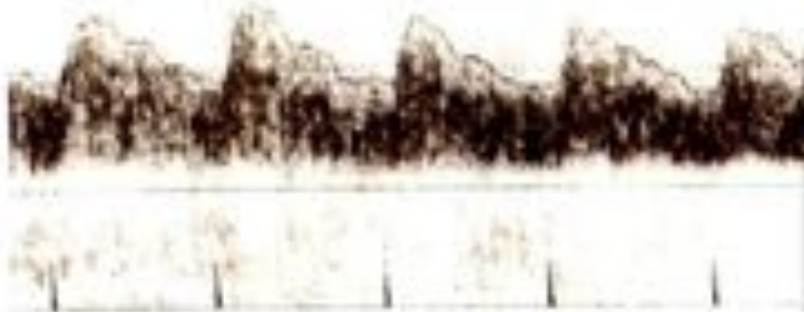
Right MCA



Detecting traumatic internal carotid artery dissection using transcranial Doppler in head-injured patients

FVs (cm/s)	92	PI	1.21
FVm (cm/s)	51	FVd (cm/s)	34

Left MCA

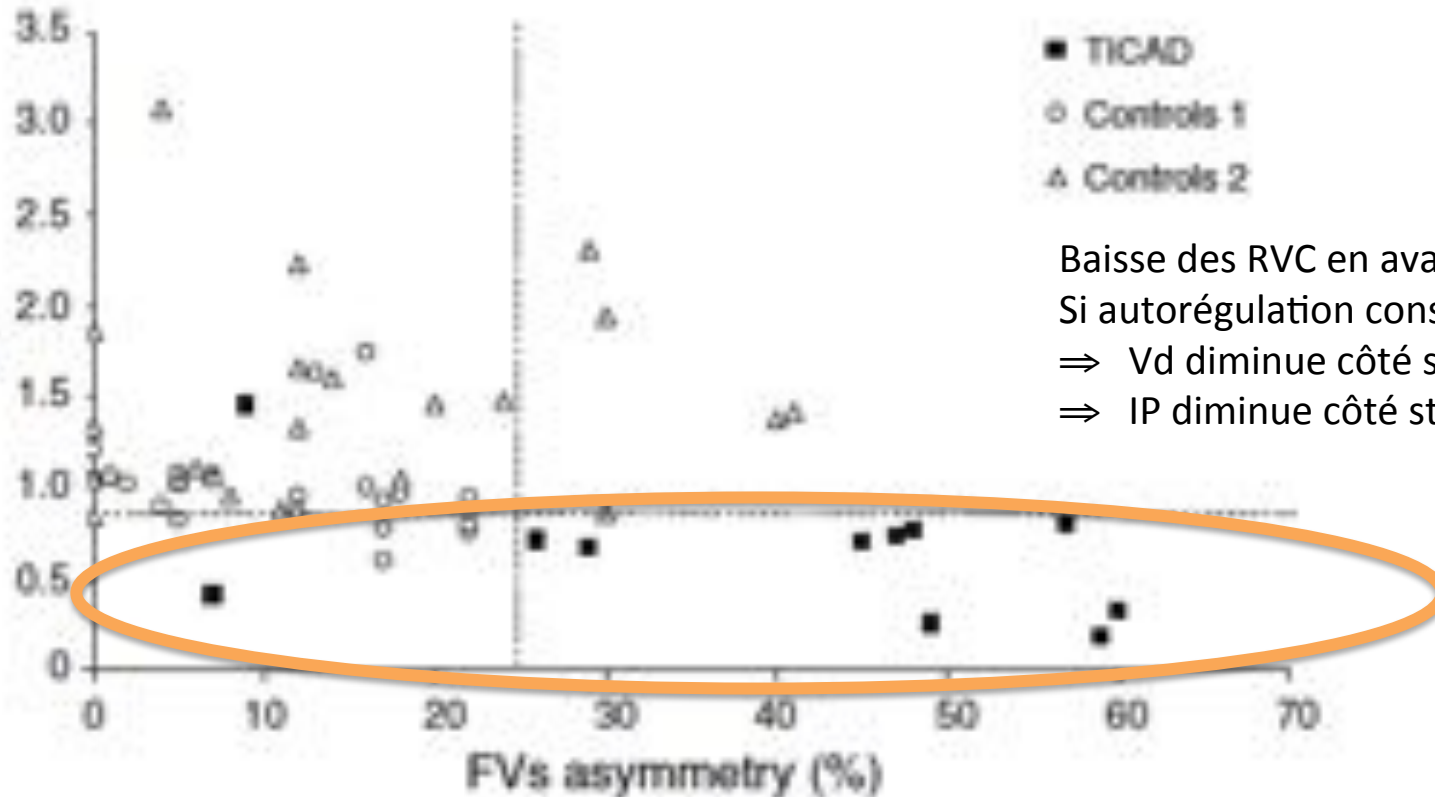


Asymétrie Vs > 25 % et IP < 0.8

FVs (cm/s)	51	PI	0.70
FVm (cm/s)	36	FVd (cm/s)	31

Diagnostic indirect de dissection carotidienne

Detecting traumatic internal carotid artery dissection using transcranial Doppler in head-injured patients



Baisse des RVC en aval de la sténose
Si autorégulation conservée
⇒ Vd diminue côté sténose
⇒ IP diminue côté sténose

3. Variations avec le CO₂

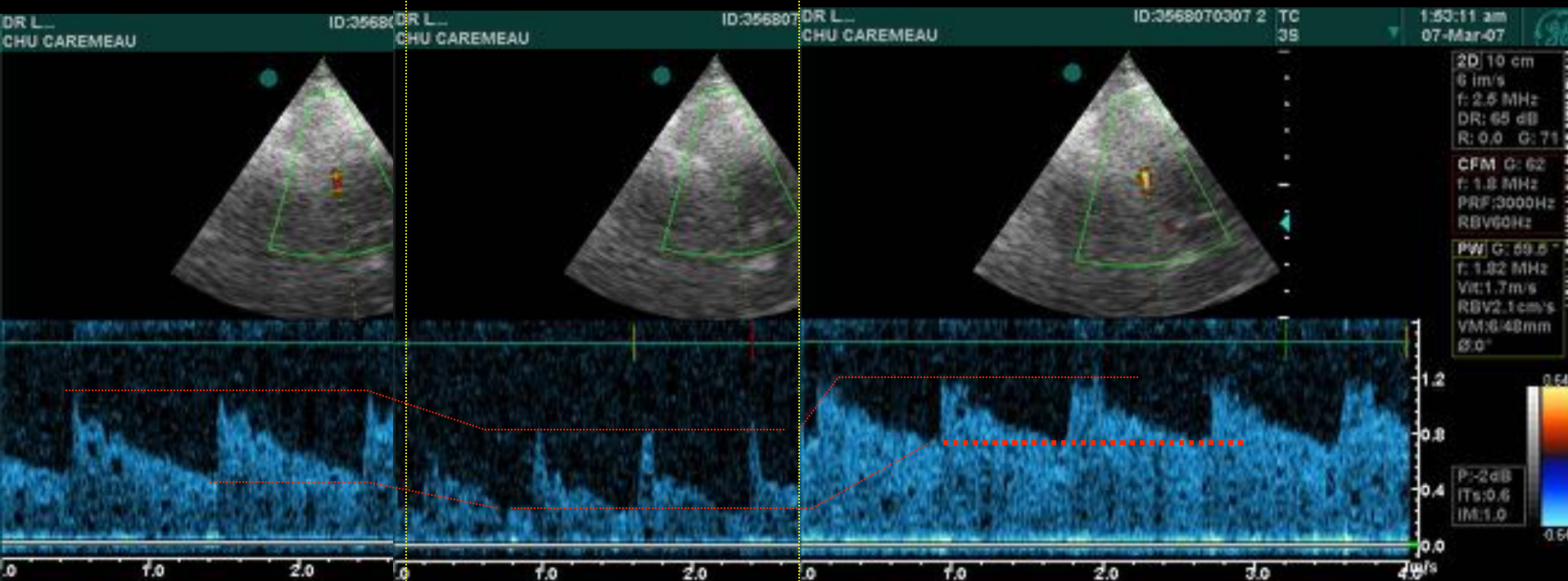
... surveiller la tolérance d'une hypocapnie

Variations du débit sanguin cérébral avec la capnie : ... Exemple sur volontaire sain

Normocapnie

Hypocapnie

Hypercapnie



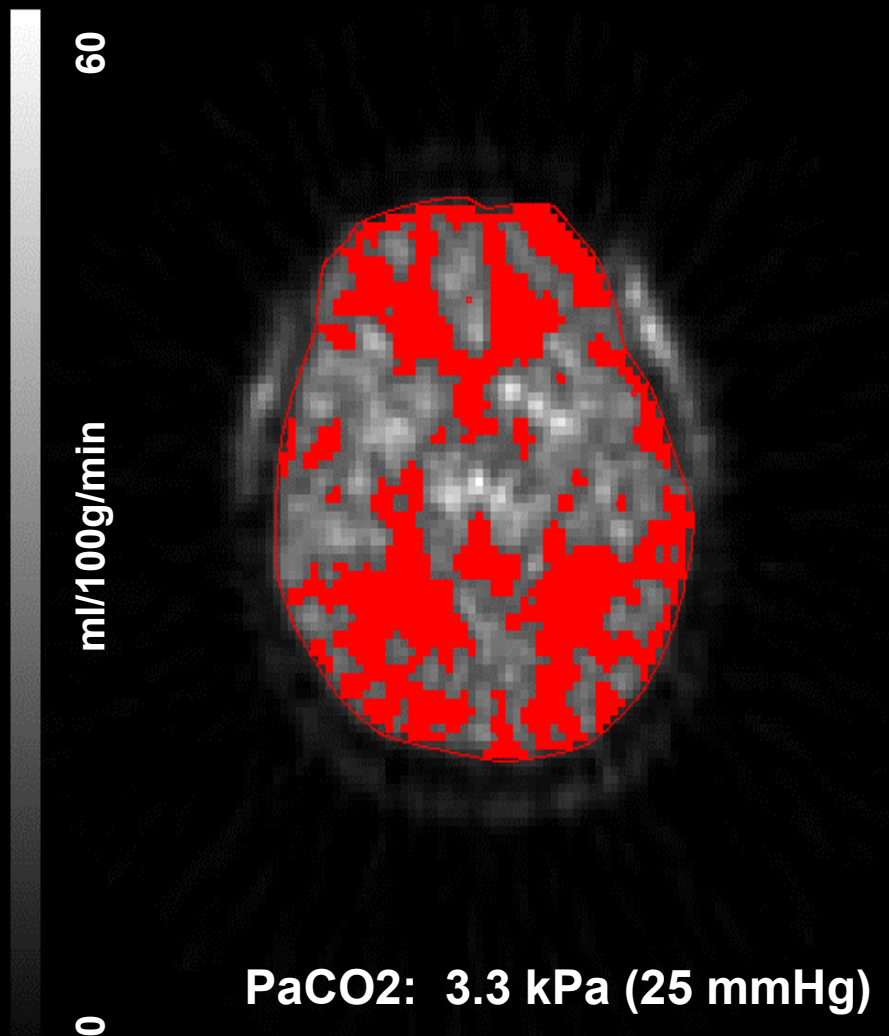
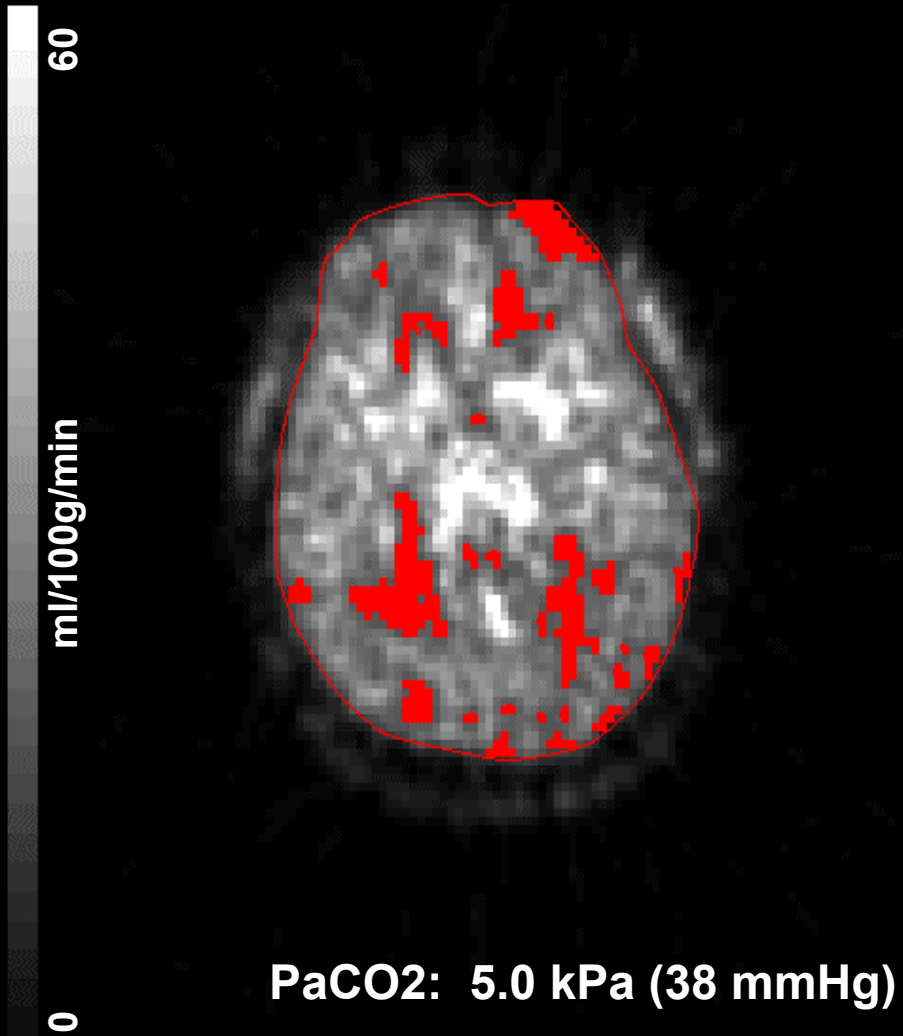
Vasoconstriction
Bas débit
Risque ischémique

Vasodilatation
Hyperhémie
Risque de majoration HTIC



Acute head injury (6 hrs post impact)

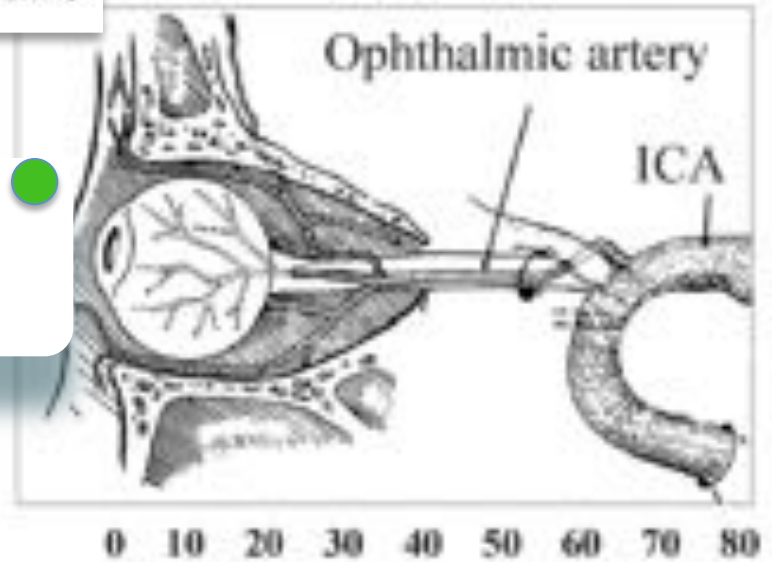
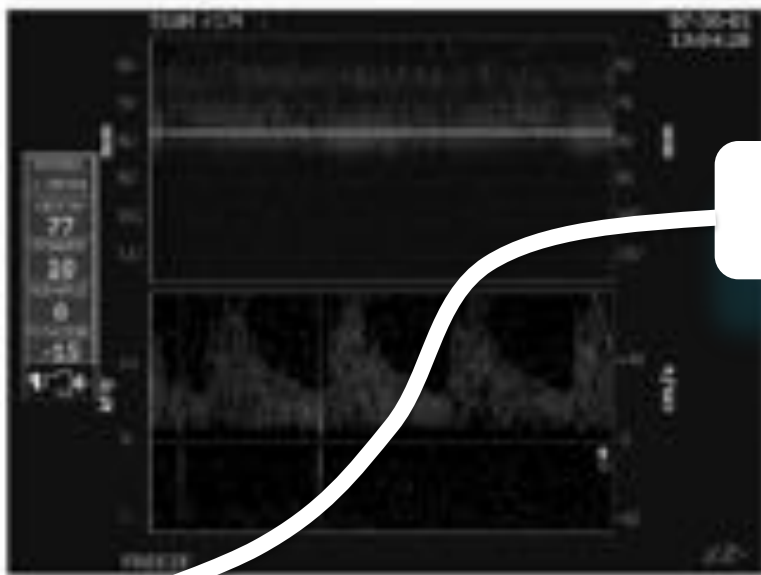
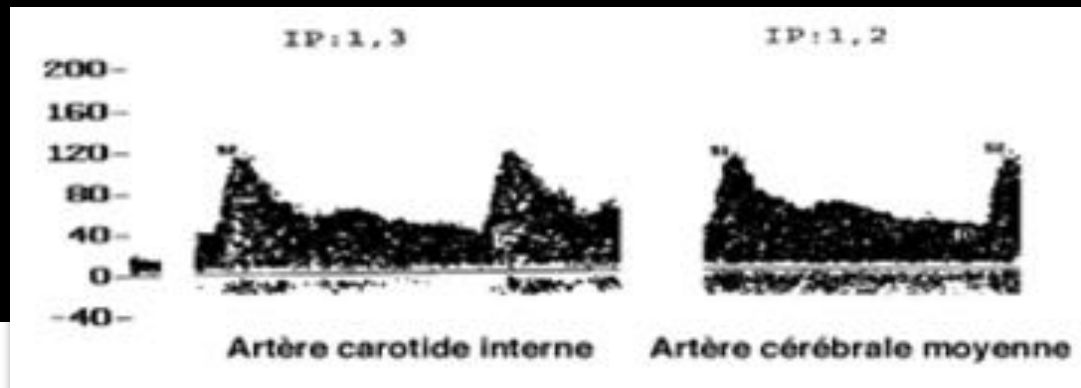
Areas in red show regions with $rCBF \leq 20$ ml/100g/min
(Coles et al. *Crit Care Med.* 2002)



4. Artère carotide interne

..portion intra crânienne par voie ophtalmique

Doppler intra crânien : approche trans orbitaire



ICA siphon signature at 60 to 80 mm depth

Doppler intra crânien : approche trans orbitaire

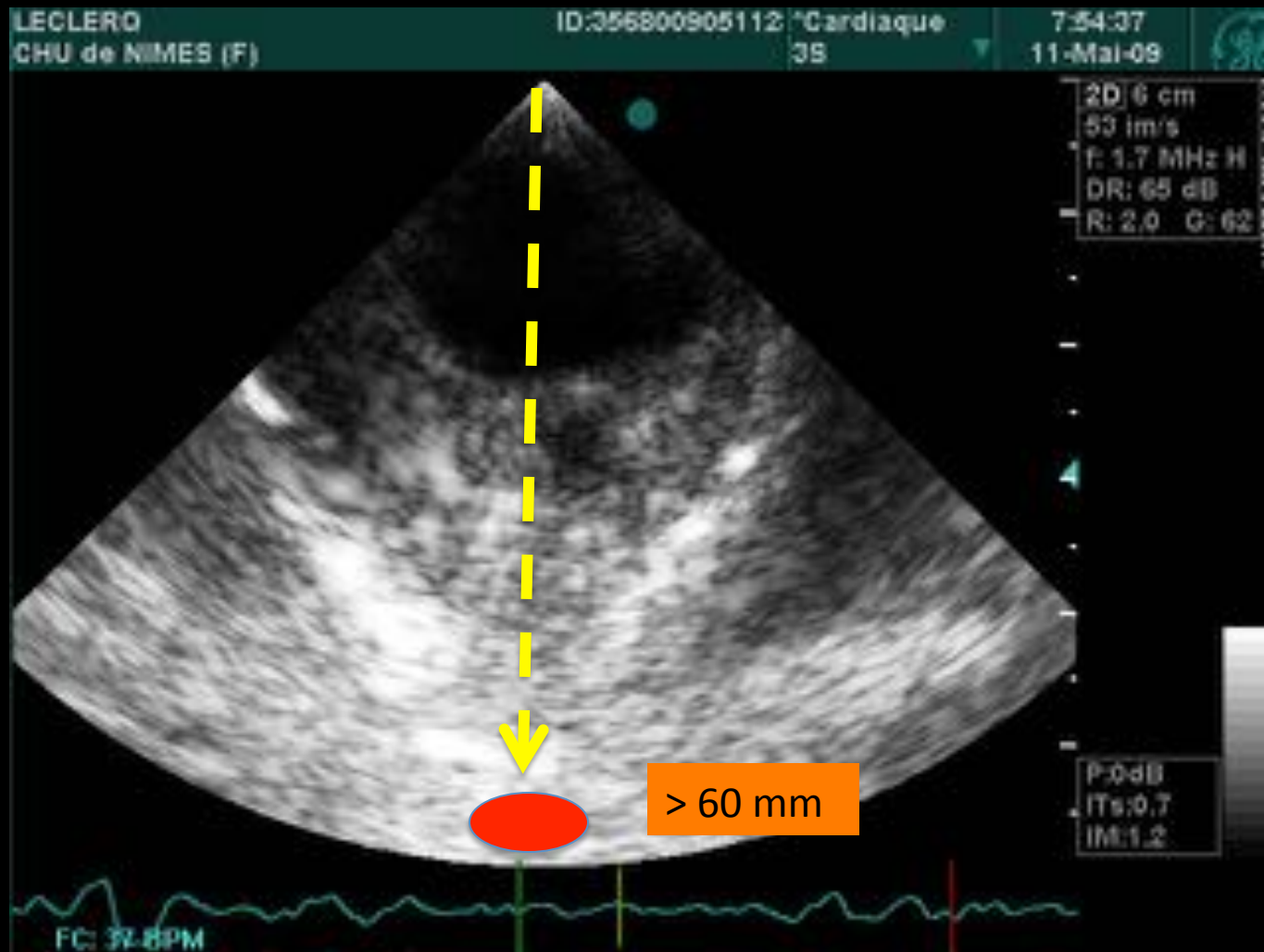
Diagnosis of Brain Death by Transcranial Doppler Sonography: Solutions for Cases of Difficult Sonic Windows

Table 1. Patients With Effective Insonation of the Arteries Through the Temporal Window ($n = 43$) and Orbital Window ($n = 14$)

	Right MCA	Left MCA	Right Carotid Siphon	Left Carotid Siphon	Carotid or MCA Insonation
Temporal window ($n = 43$)	40 (93%)	39 (91%)			
Orbital window ($n = 14$)			14 (100%)	14 (100%)	43 (100%)

MCA, middle cerebral artery.

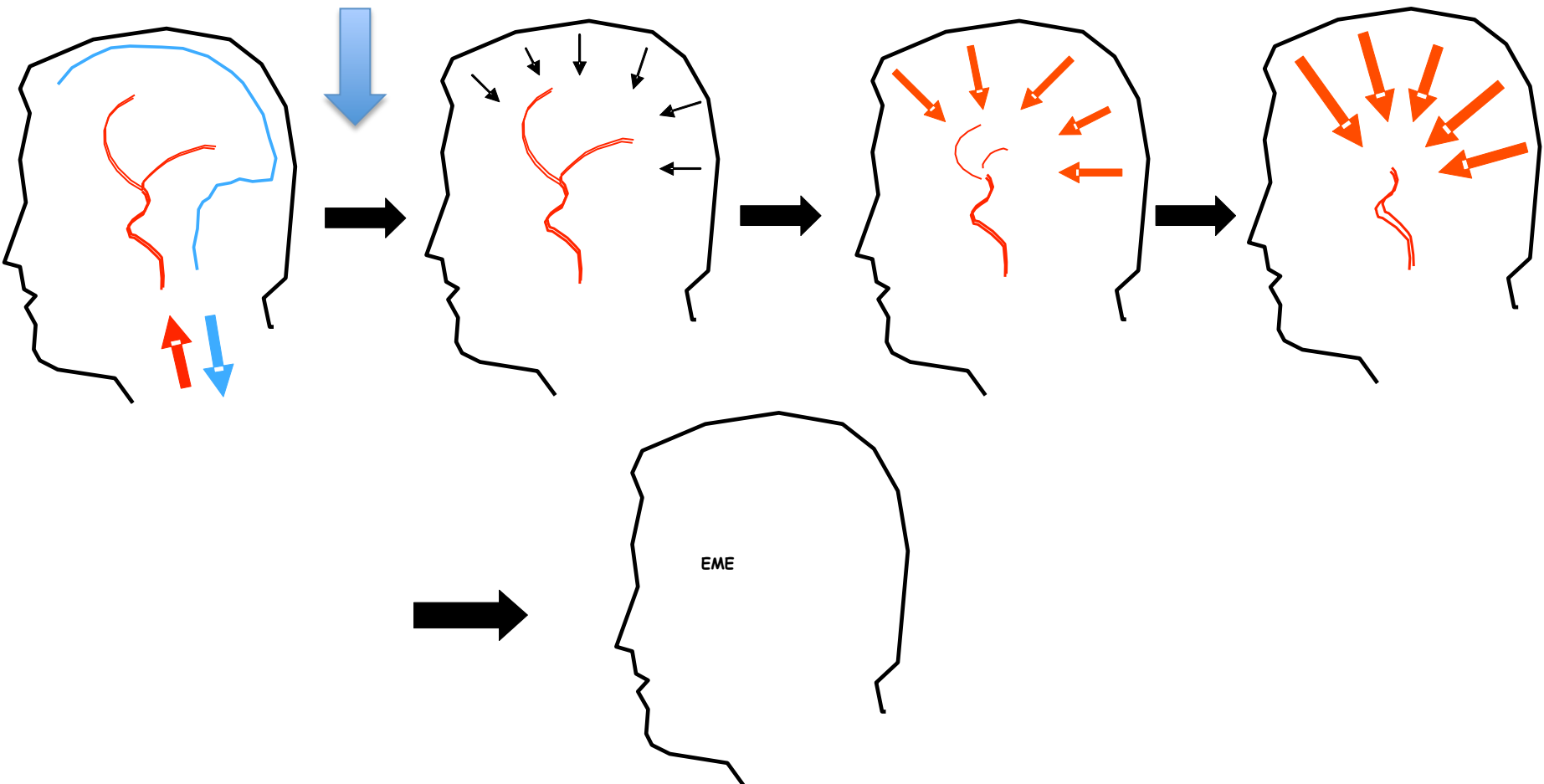
Doppler intra crânien : approche trans orbitaire



5. Mort cérébrale

... détecter le bon moment pour l'angioscanner ou l'EEG

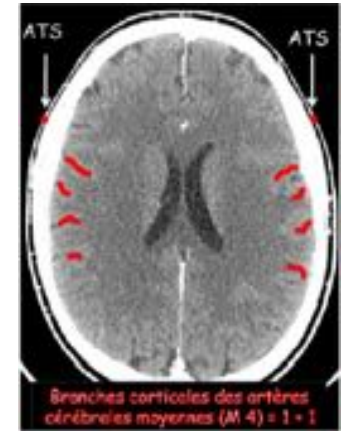
Progression de l'HTIC = arrêt circulatoire cérébral



Angioscanner pour la **confirmation paraclinique** de ME :

Recommandations 2011 : abandon de 7 critères pour 4 (3 en pratique)

- **L'opacification de M2 ou M3 est fréquente au cours de la ME**
- En cas d'opacification unilatérale de M4, le diagnostic de ME peut être confirmé en l'absence d'opacification des veines cérébrales internes
- La conclusion doit être « arrêt circulatoire cérébral » ou « absence d'arrêt circulatoire cérébral »
- Le constat de mort encéphalique est clinique, porté par deux cliniciens. C'est un certificat différent du CR d'angioscanner
- Attendre 6 heures entre clinique et TDM



Doppler transcrânien et mort encéphalique : *choisir le bon moment pour l'angiographie ou l'EEG*

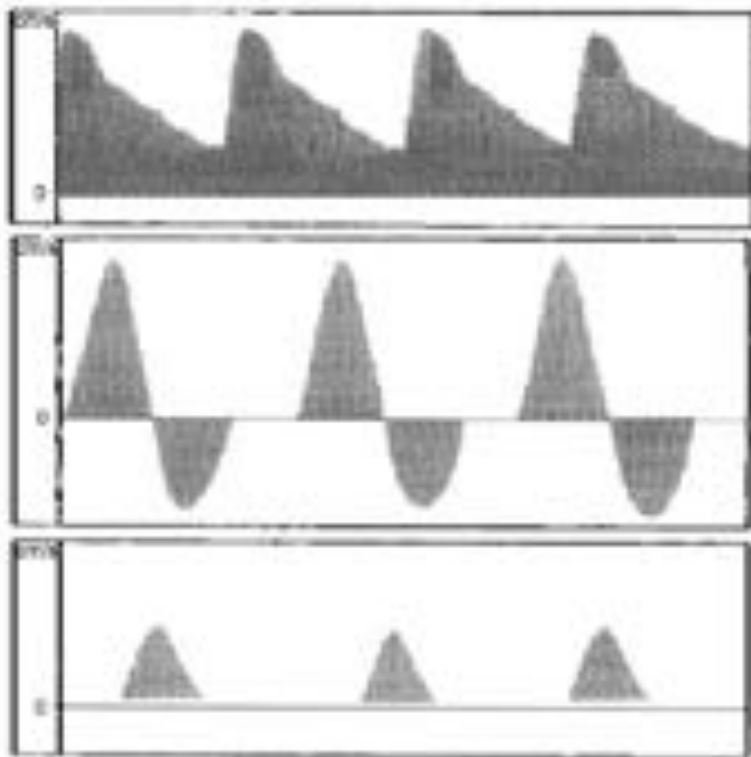


Fig.1 Transcranial Doppler flow patterns. Transcranial Doppler flow patterns demonstrate normal flow with systolic and diastolic forward flow (top), oscillating flow with systolic forward flow and reversed diastolic flow (middle), and brief systolic forward flow (bottom)

Table 2 Meta-analysis of high quality studies and sensitivity analysis of all included studies. CI confidence interval

Primary analysis: only high-quality studies

	95% CI		
Sensitivity (%)	95	92	97
Specificity (%)	99	97	100

Sensitivity analysis: all studies, Velthoven et al. [24]; cerebral angiography and clinical criteria as reference test

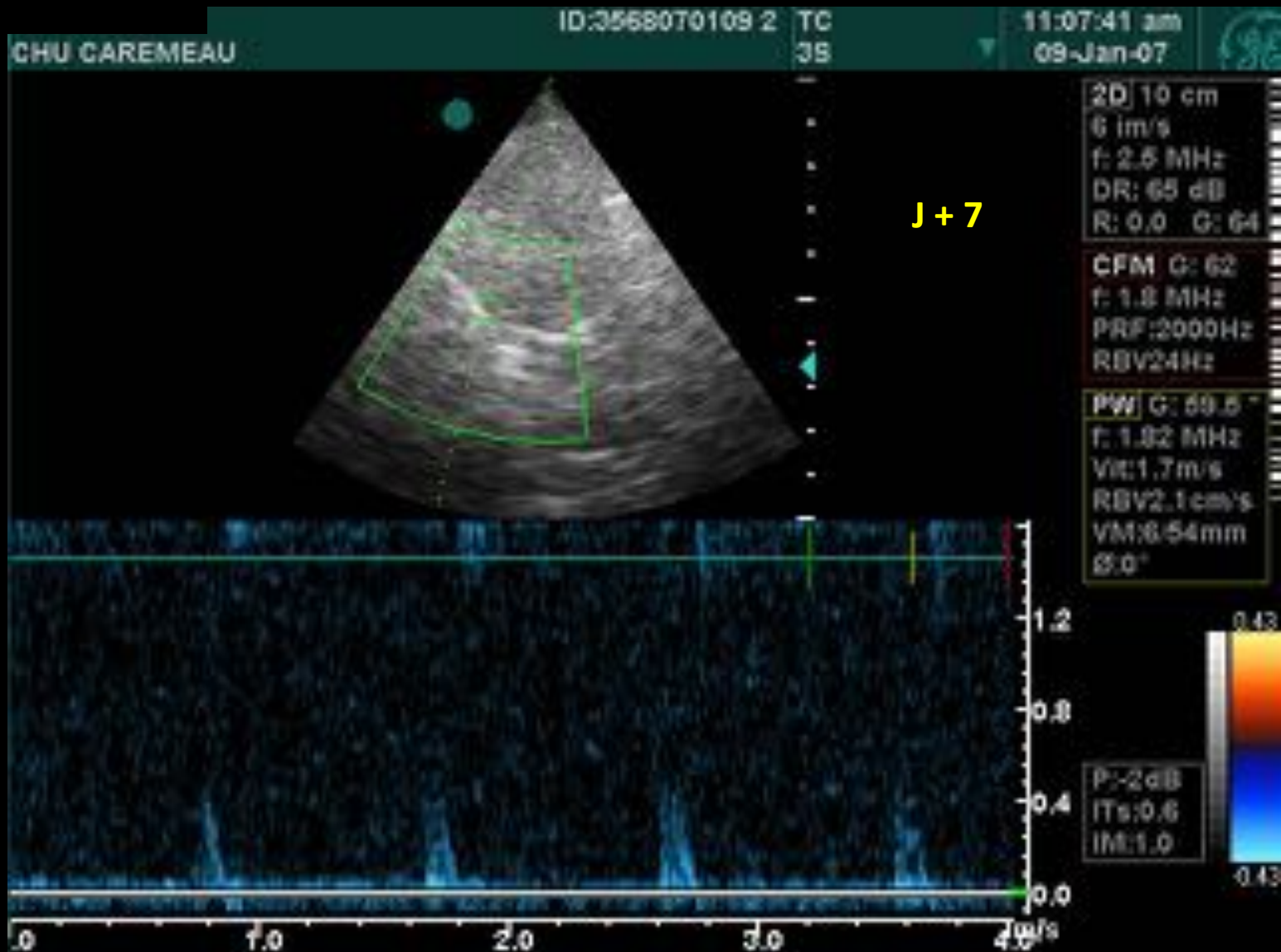
	95% CI		
Sensitivity (%)	89	86	91
Specificity (%)	99	99	100

Sensitivity analysis: all studies, Velthoven et al. [24]; EEG and clinical criteria as reference test

	95% CI		
Sensitivity (%)	89	86	91
Specificity (%)	99	98	100

In conclusion, CCA by TCD in the basilar and both middle cerebral arteries correctly predicted fatal brain damage in all patients; therefore, TCD could be used to determine the appropriate moment for angiography. To accept a test for denning brain death, specificity should be 100%. We do believe that further research is needed to demonstrate that repeated TCD examination is able to produce this level of specificity.

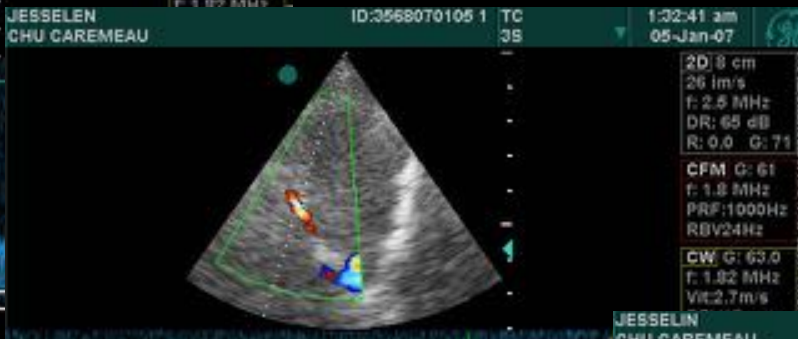
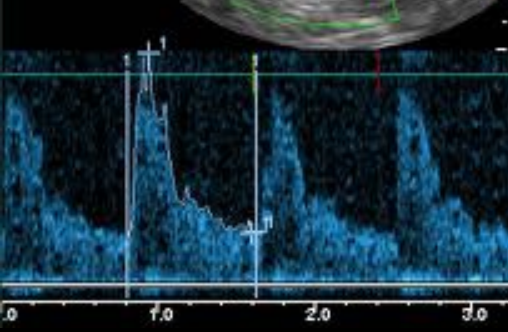
Patient de 67 ans, TC grave Contusion hémorragique, hémorragie méningée
Coma CGS 3 – pupilles aréactives



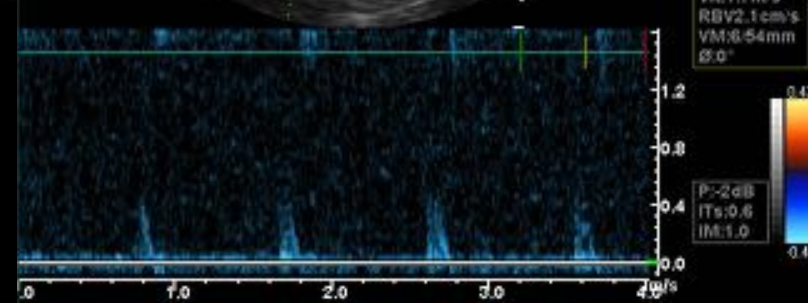
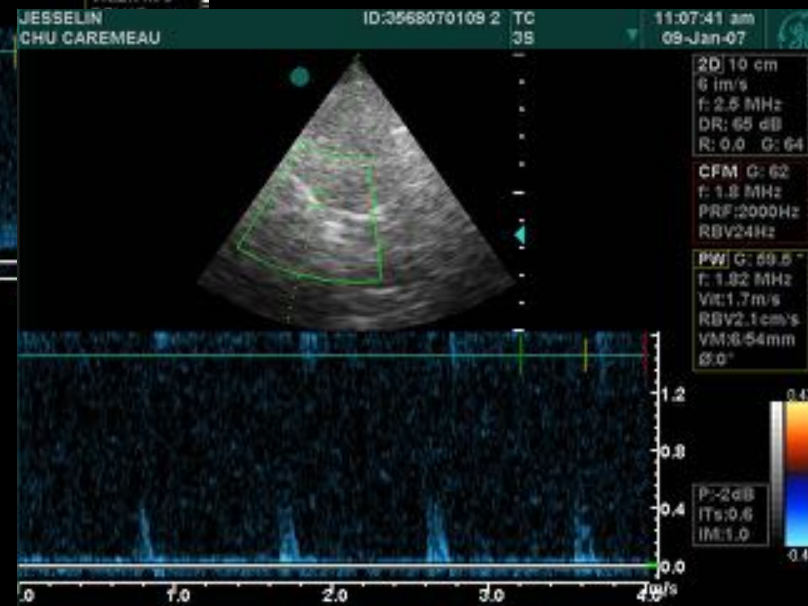
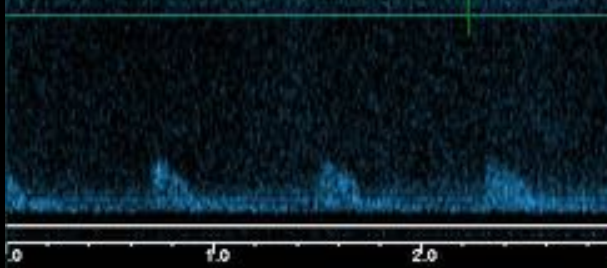
Patient de 67 ans, TC grave Contusion hémorragique, hémorragie méningée Coma CGS 3 – pupilles réactives à l'entrée



J + 3



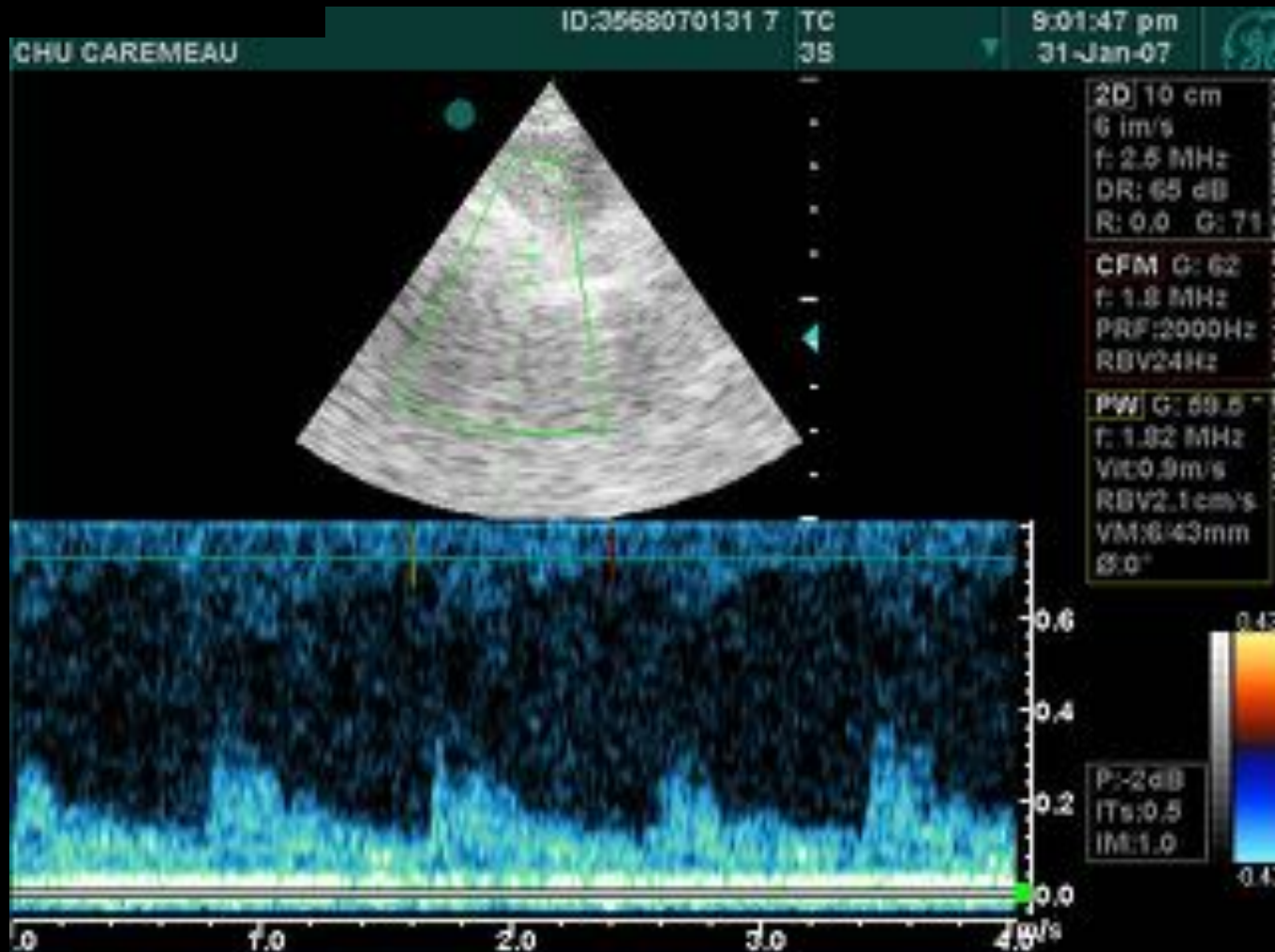
J + 7



Patiente de 60 ans, inondation tétra ventriculaire – mort cérébrale clinique

Test d'apnée : absence de ventilation

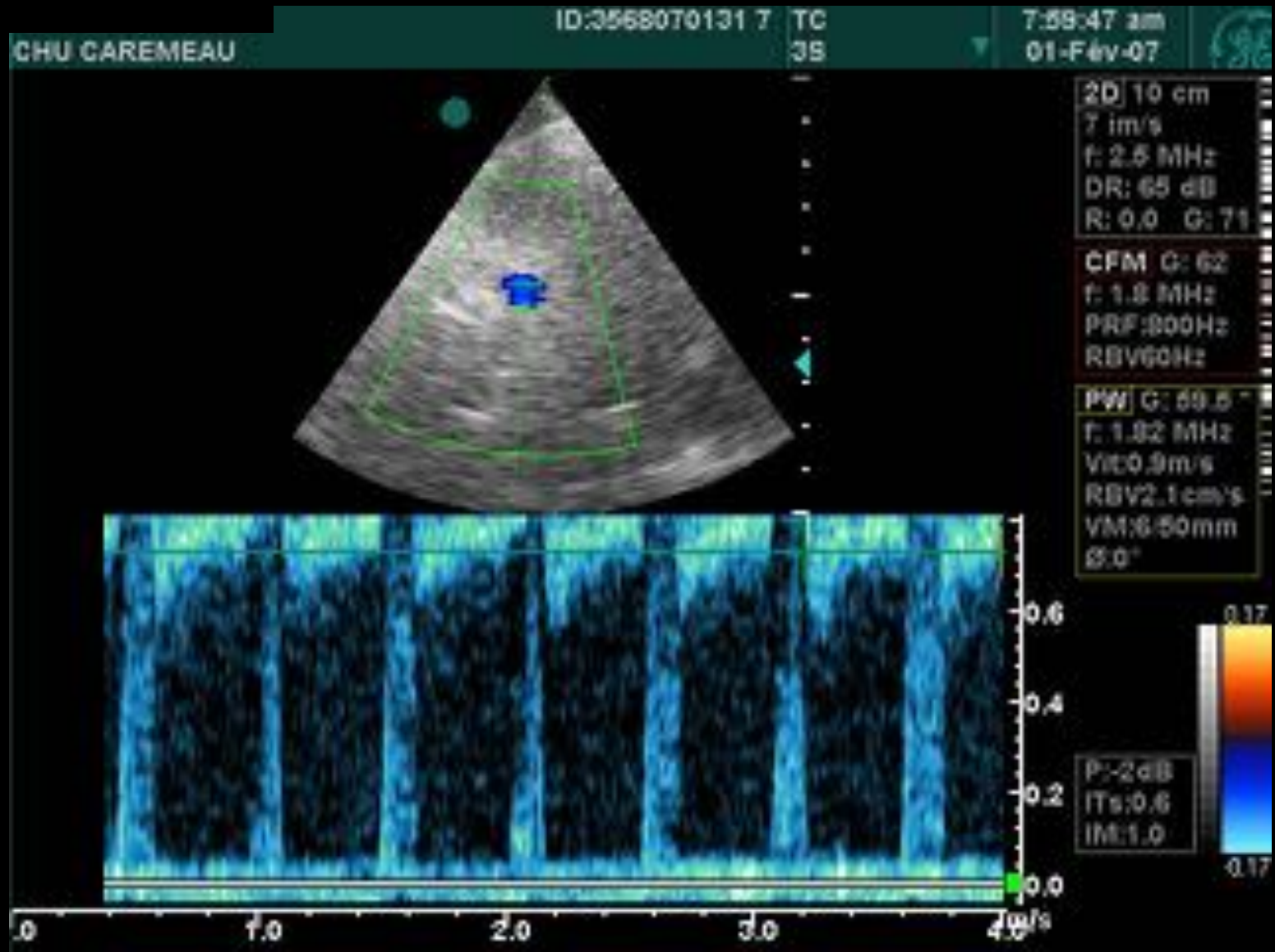
Doppler réalisé à l'entrée



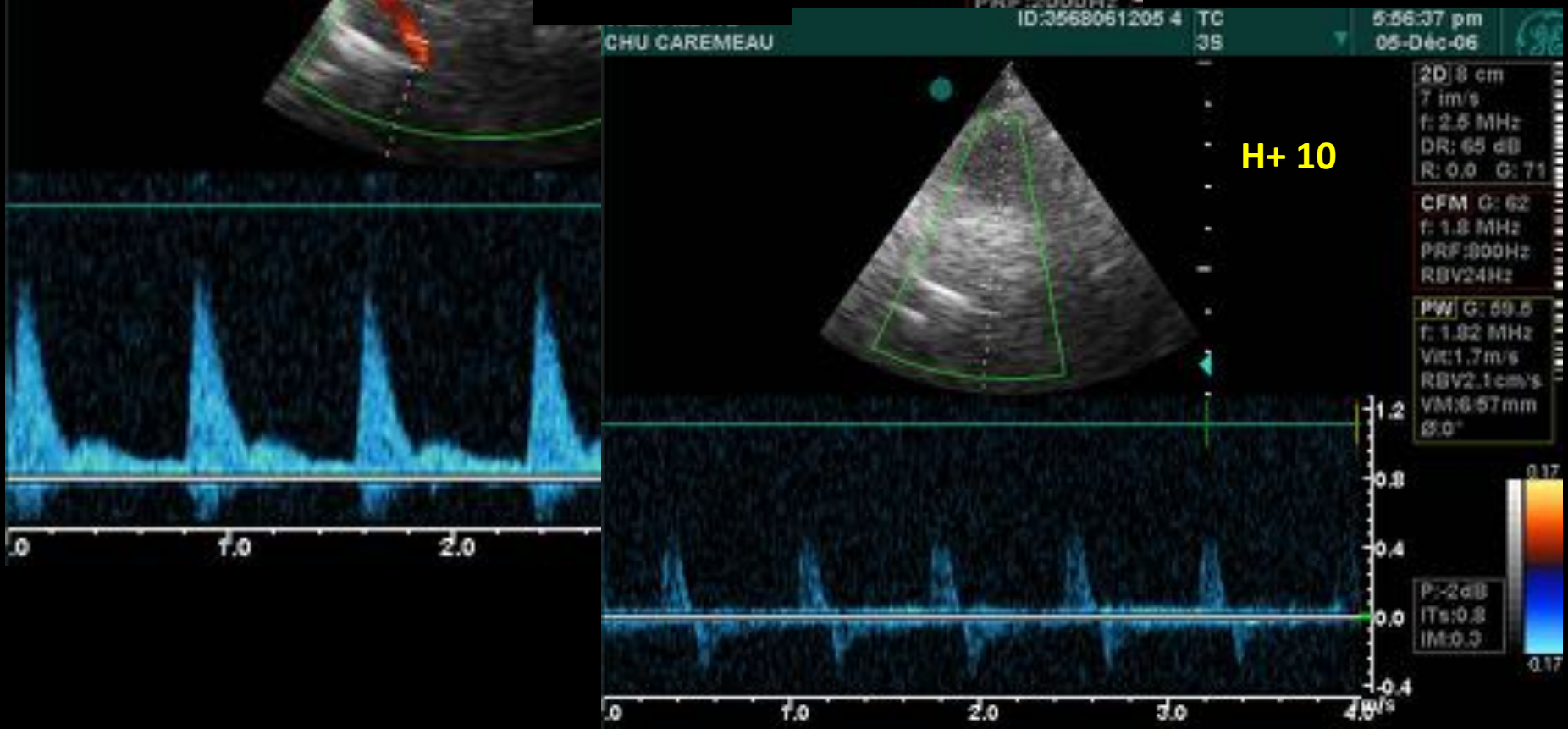
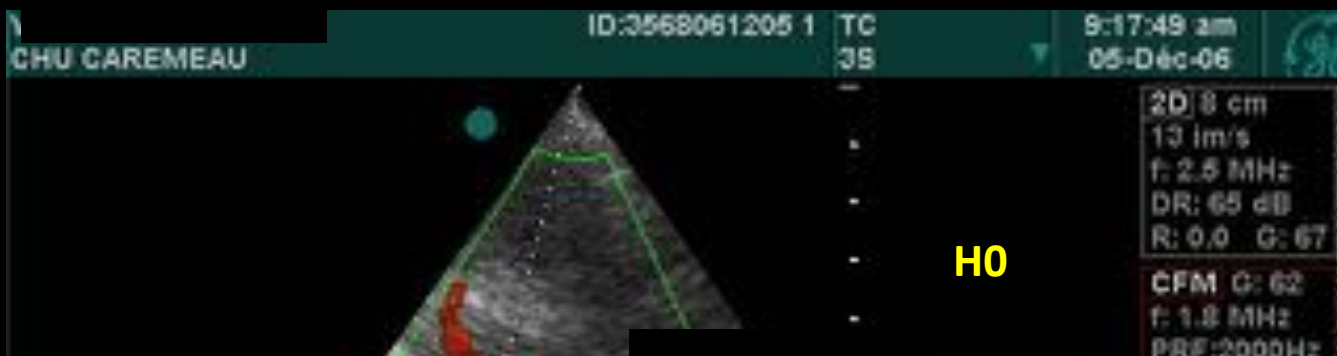
Patiente de 60 ans, inondation tétra ventriculaire – mort cérébrale clinique

Test d'apnée : absence de ventilation

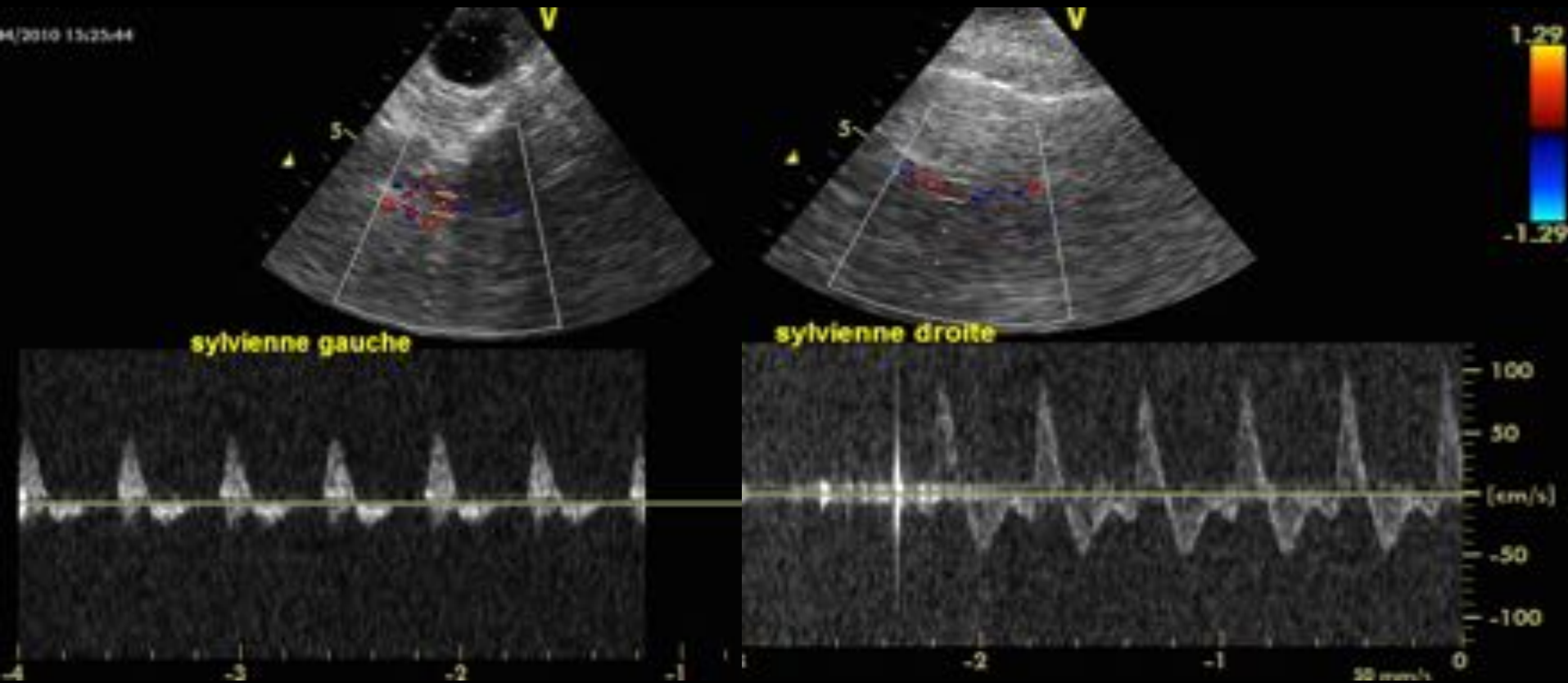
Doppler réalisé 12 heures après l'entrée



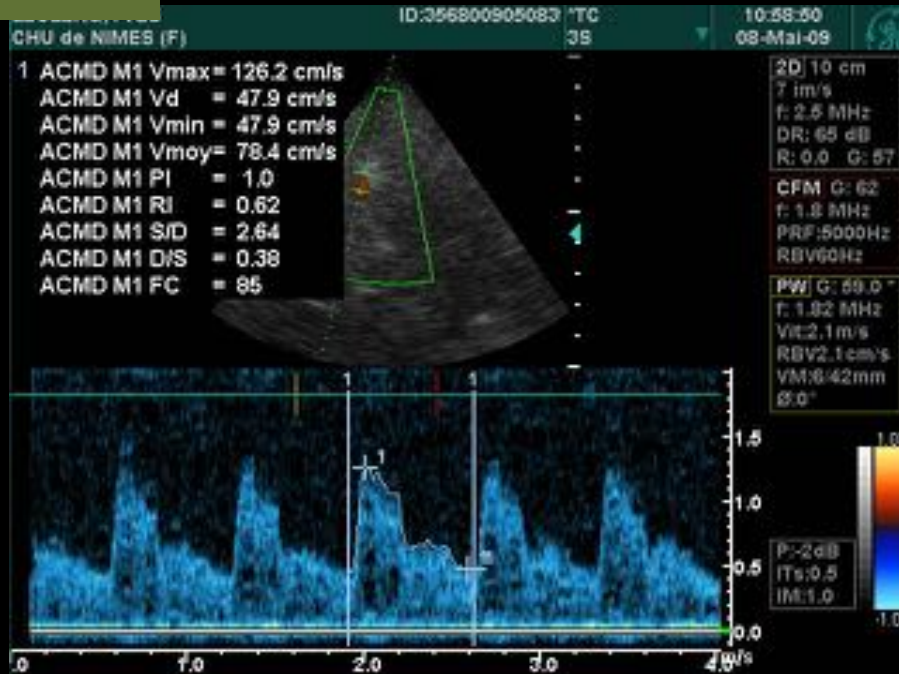
Patiente de 69 ans, AVC hémorragique



Doppler TC et mort encéphalique : flux pendulaires

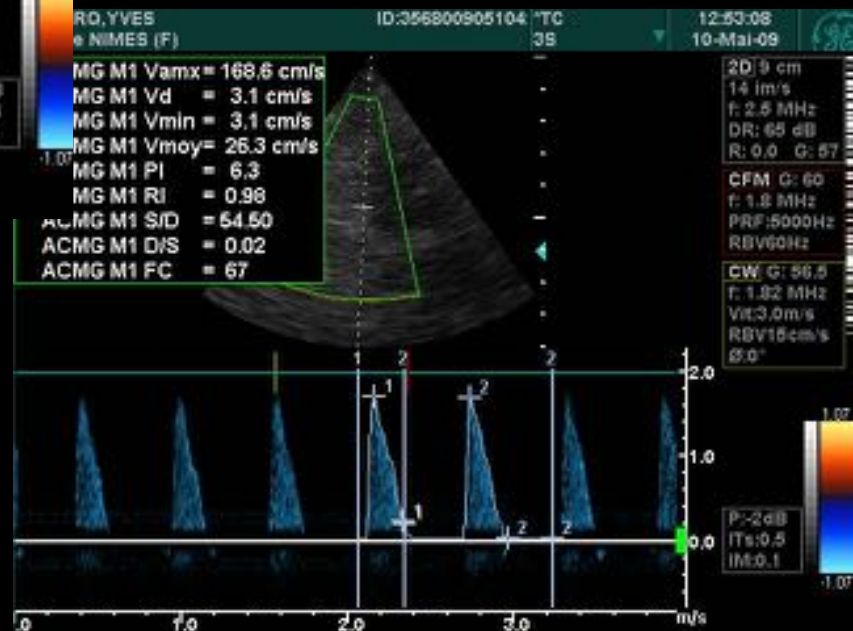


Doppler TC et mort encéphalique : abolition du flux diastolique



J0

J2



6. Vasospasme

Doppler intra crânien : *vasospasme*

Vitesses moyennes élevées :

- ACM >120cm/s (>90 cm/s dans les 48^oh)
- ACA >100cm/s
- TB > 85 cm/s
- 50cm/s des vitesses en 24h ou /côté controlatéral

120-150 Spasme modéré

150-200 Spasme menaçant

>200 Spasme symptomatique

Index de Lindegaard

$$\frac{Vm\ MCA}{Vm\ ICA}$$

- < 3 : Hyperhémie
- > 3 : Vasospasme modéré
- > 6 : Vasospasme sévère



7. Echographie cérébrale

Doppler intra crânien : *dévi*ation de la ligne médiane

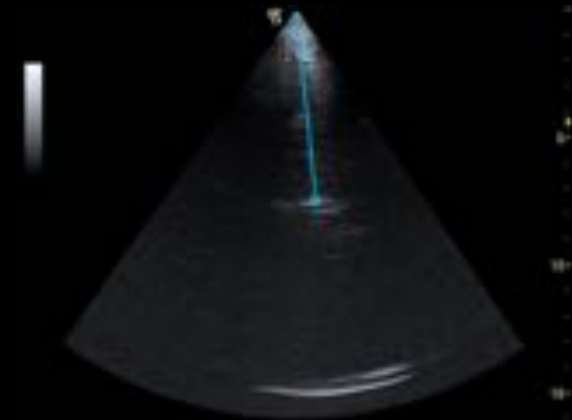
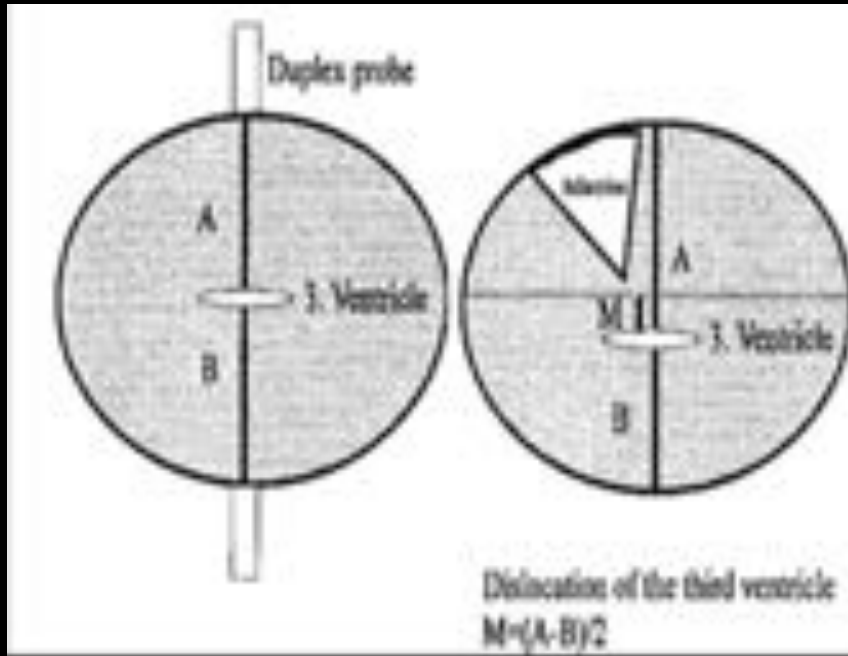
L'effet de masse

La déviation de la ligne médiane de plus de 0.5 cm

=> facteurs pronostiques majeurs

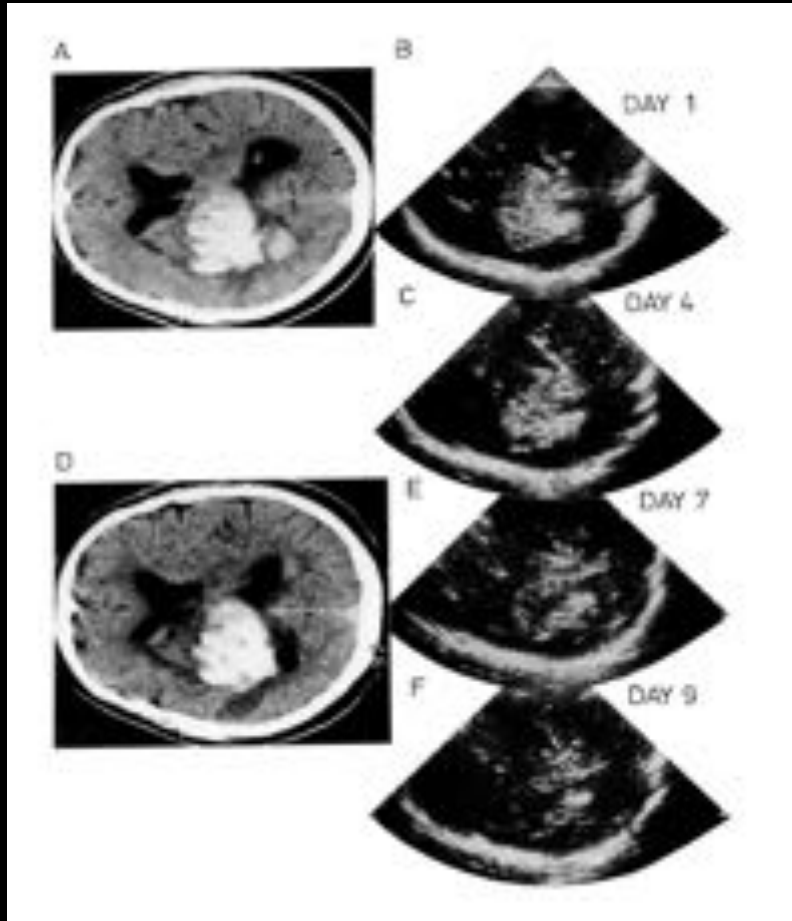
Perel et al BMJ 2008

Doppler intra crânien : *dévi*ation de la ligne médiane

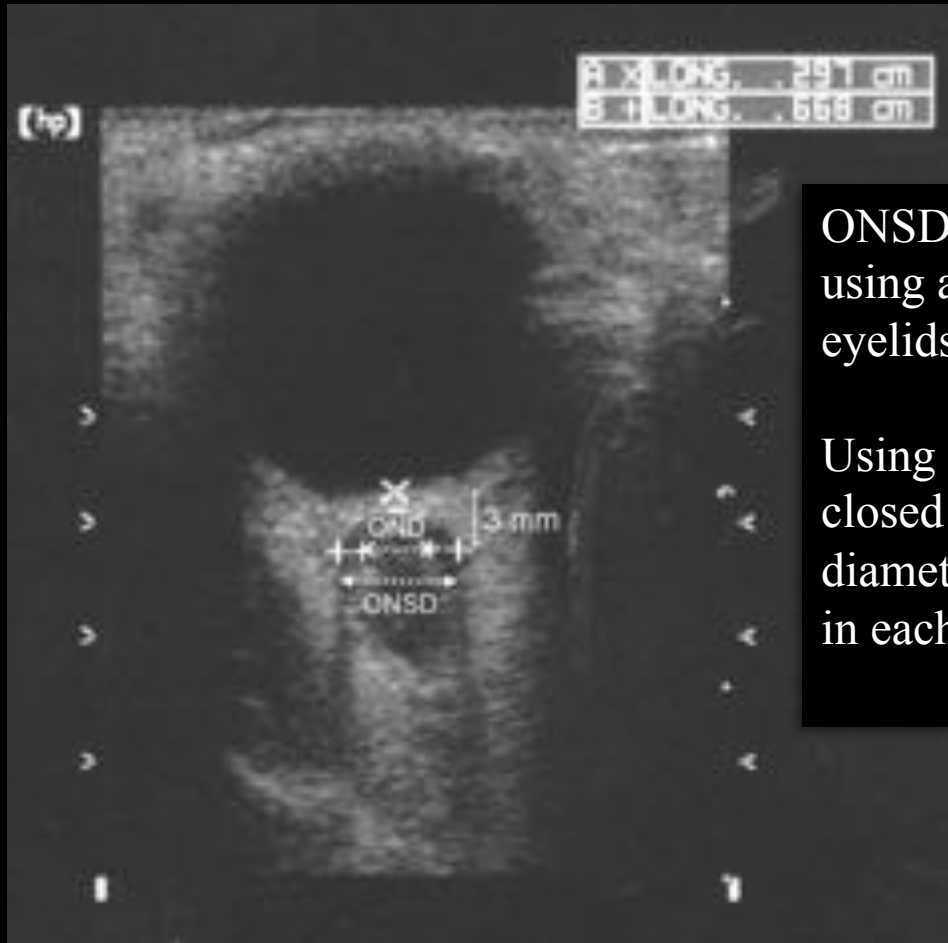


Sensibilité 84 %
Spécificité 94 %
Pour DLM > 0.5 cm

Doppler intra crânien : *visualisation des hématomes*



Evaluation de la PIC par le diamètre de la gaine du nerf optique

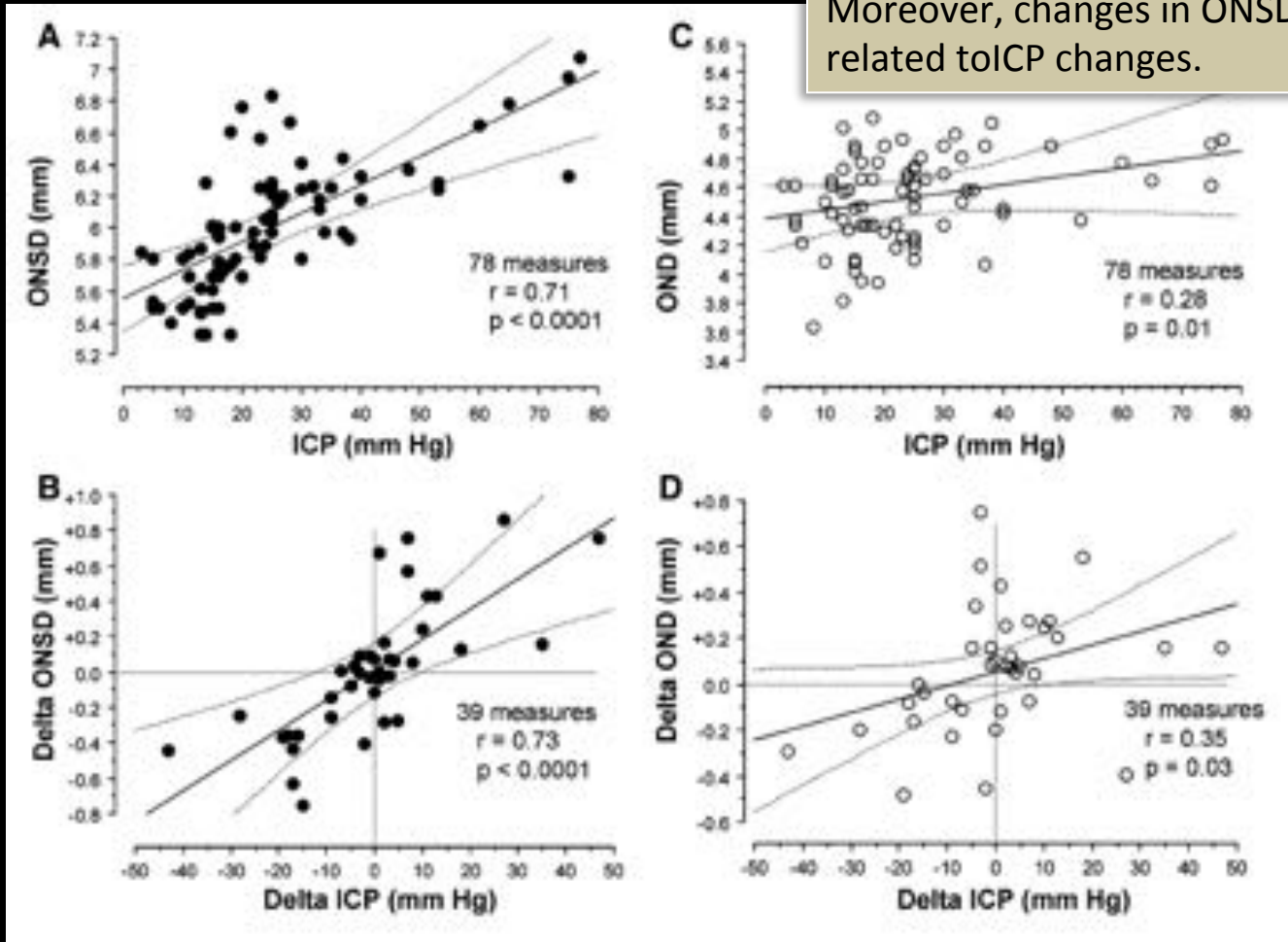


ONSD was measured 3 mm behind the globe using a 10-MHz linear probe on the closed eyelids of supine patients, bilaterally

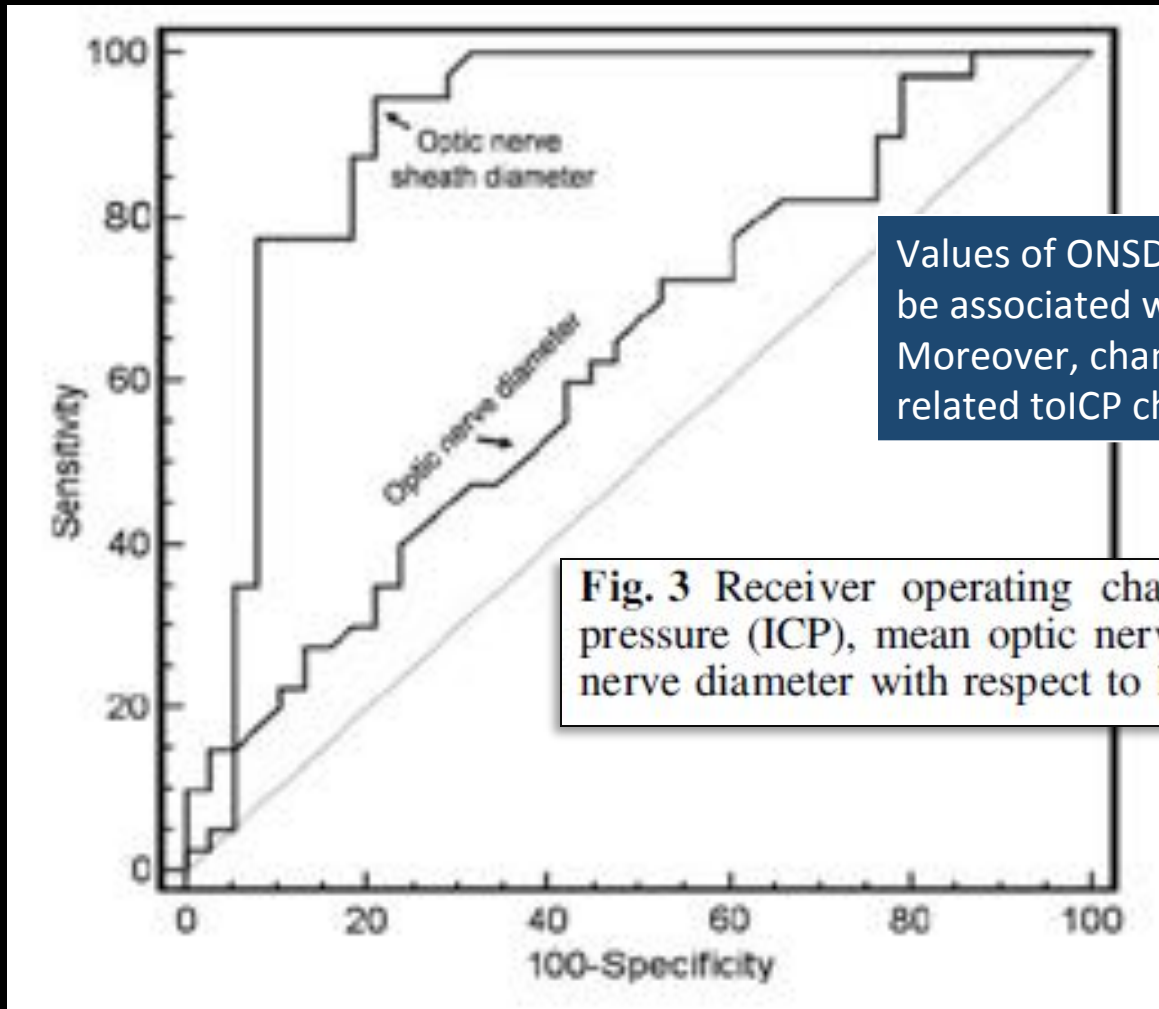
Using a 7.5-MHz ultrasonographic probe on the closed eyelids, a single optic nerve sheath diameter was measured 3 mm behind the globe in each eye.

Evaluation de la PIC par le diamètre de la gaine du nerf optique

Values of ONSD less than 5.8 mm are not likely to be associated with ICP above 20 mmHg. Moreover, changes in ONSD are also strongly related to ICP changes.



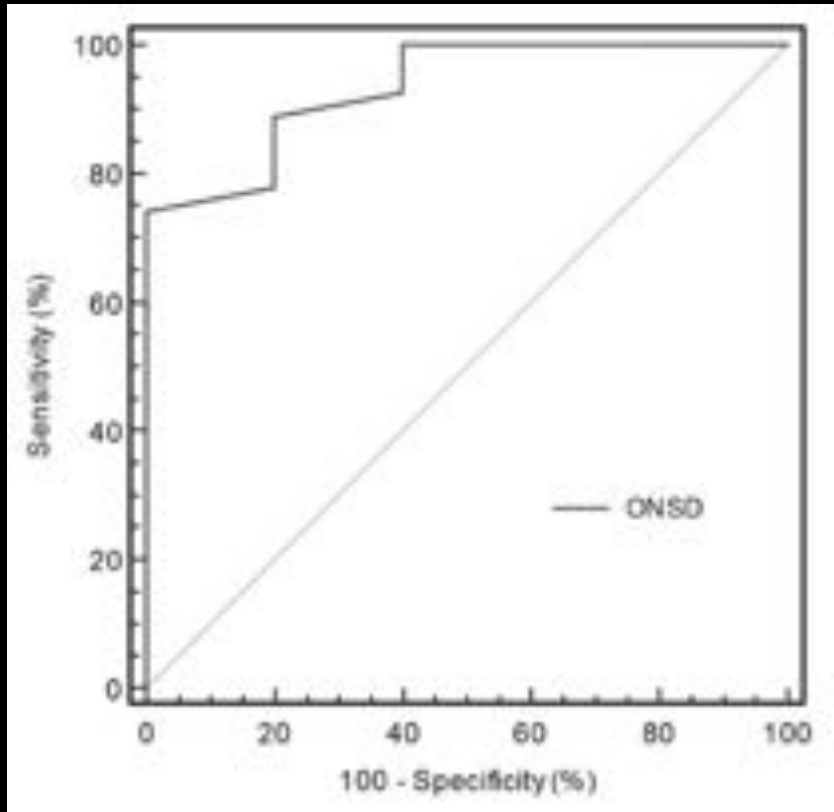
Non-invasive assessment of intracranial pressure using ocular sonography in neurocritical care patients



Values of ONSD less than 5.8 mm are not likely to be associated with ICP above 20 mmHg. Moreover, changes in ONSD are also strongly related to ICP changes.

Fig. 3 Receiver operating characteristic curves for intracranial pressure (ICP), mean optic nerve sheath diameter and mean optic nerve diameter with respect to high ICP (ICP > 20 mmHg)

Optic nerve sonography in the diagnostic evaluation of adult brain injury



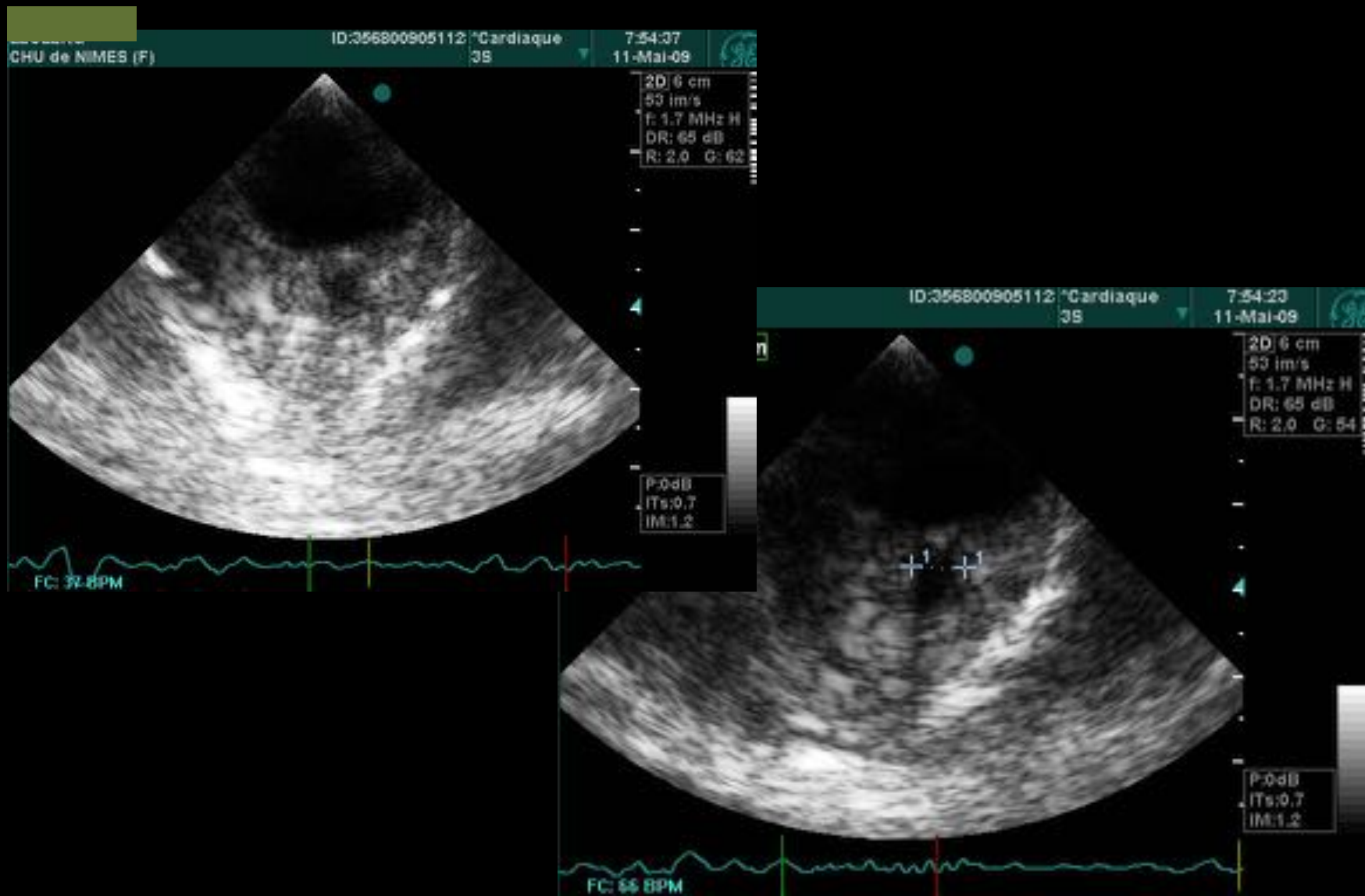
The best cut-off value of ONSD for predicting elevated ICP was 5.7 mm (sensitivity = 74.1% and specificity = 100%).

Evaluation de la PIC par le diamètre de la gaine du nerf optique

Pas si facile...



Evaluation de la PIC par le diamètre de la gaine du nerf optique : sonde cardiaque



Doppler transcrânien : monitoring continu ?

